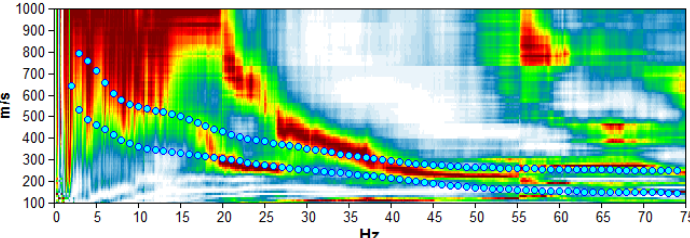
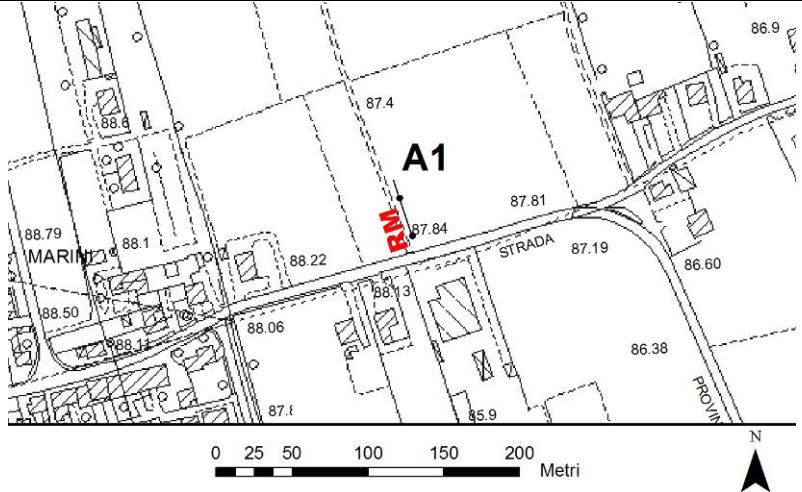
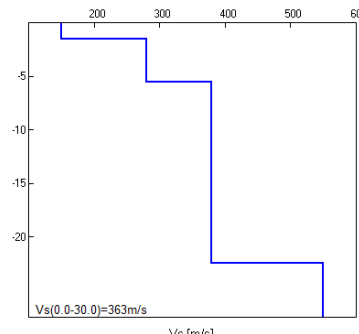
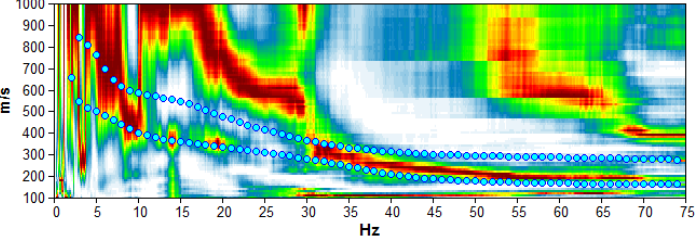
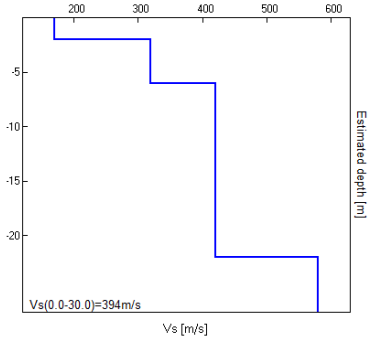
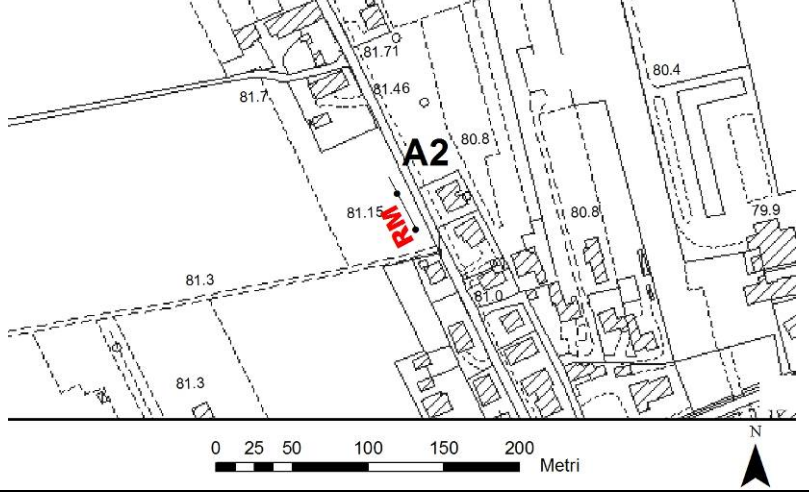


SCHEDE DELLE INDAGINI

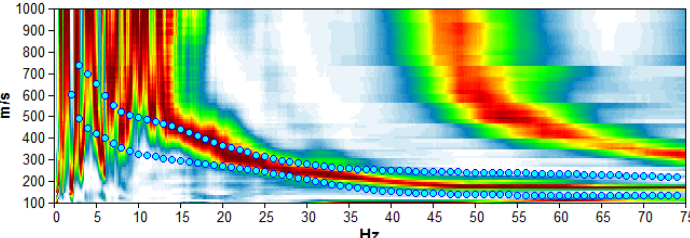
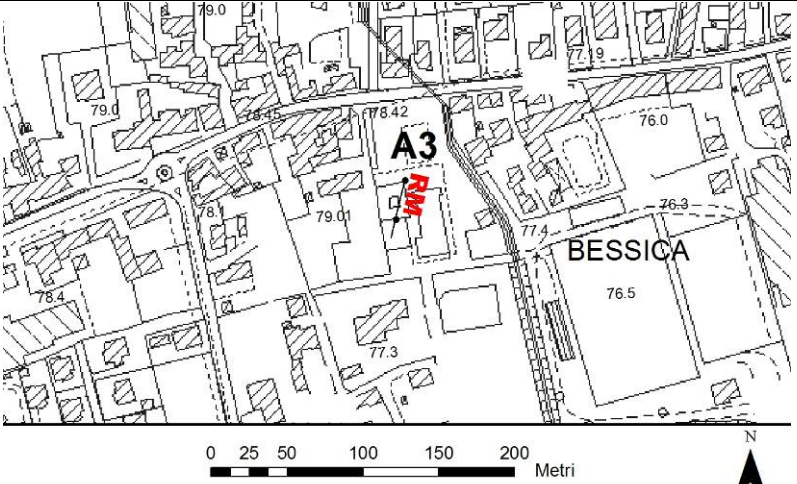
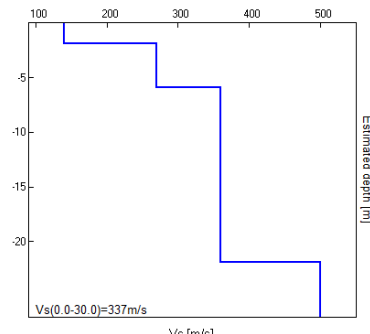
MISURA IN ARRAY DI TIPO RE.MI.

Progressivo	A1	
Coordinata X inizio Gauss-Boaga	1719224	
Coordinata Y inizio Gauss-Boaga	5068743	
Coordinata X fine Gauss-Boaga	1719212	
Coordinata Y fine Gauss-Boaga	5068781	
Anno	2015	
Attendibilità della misura	alta	
		
		
<i>Modelled rayleigh wave phase velocity</i>	<i>Profilo Vs</i>	<i>Ubicazione</i>

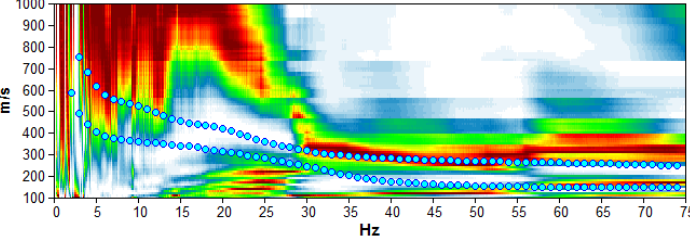
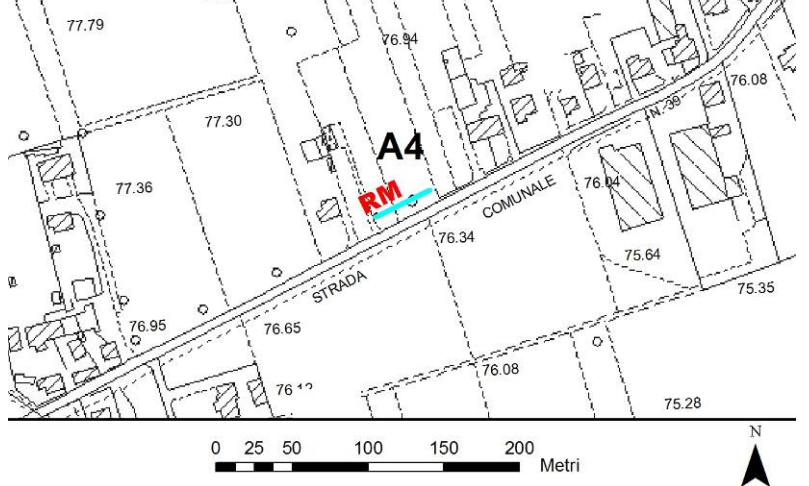
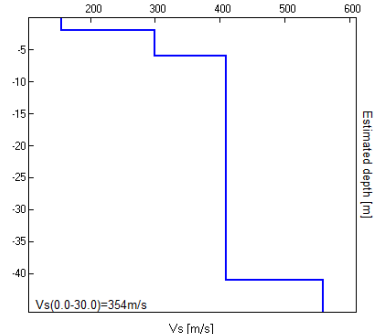
MISURA IN ARRAY DI TIPO RE.MI.

Progressivo	A2	
Coordinata X inizio Gauss-Boaga	1720377	
Coordinata Y inizio Gauss-Boaga	5068453	
Coordinata X fine Gauss-Boaga	1720359	
Coordinata Y fine Gauss-Boaga	5068489	
Anno	2015	
Attendibilità della misura	alta	
		
<i>Modelled rayleigh wave phase velocity</i>	<i>Profilo Vs</i>	
		<i>Ubicazione</i>

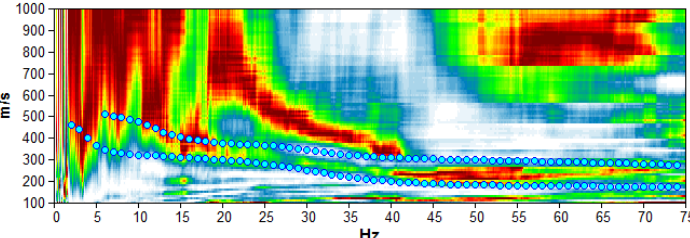
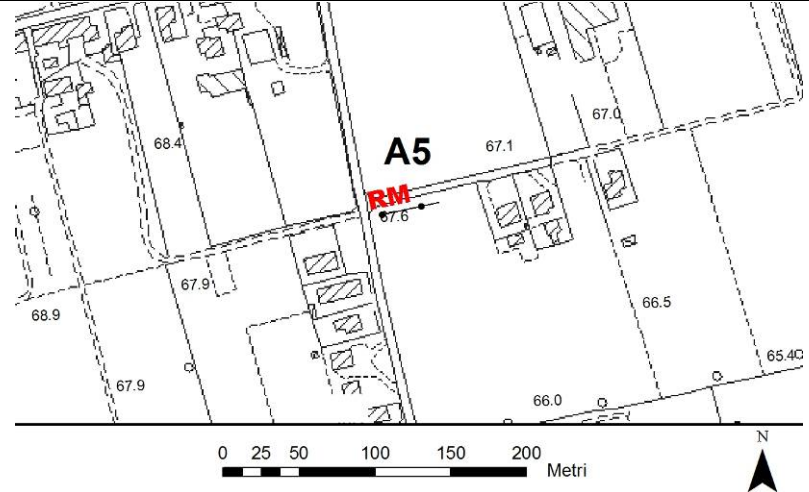
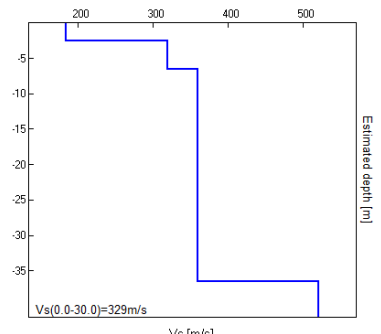
MISURA IN ARRAY DI TIPO RE.MI.

Progressivo	A3	
Coordinata X inizio Gauss-Boaga	1721168	
Coordinata Y inizio Gauss-Boaga	5068509	
Coordinata X fine Gauss-Boaga	1721159	
Coordinata Y fine Gauss-Boaga	5068470	
Anno	2015	
Attendibilità della misura	alta	
		
		
<i>Modelled rayleigh wave phase velocity</i>	<i>Profilo Vs</i>	<i>Ubicazione</i>

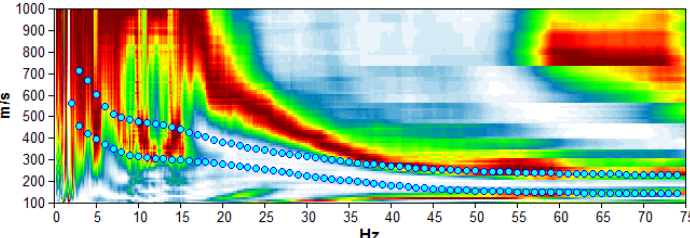
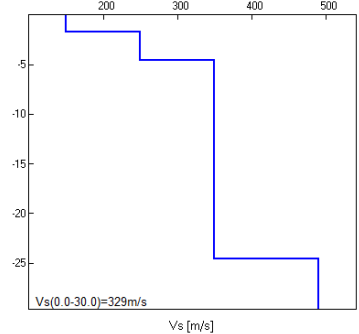
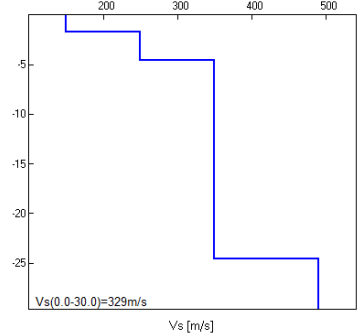
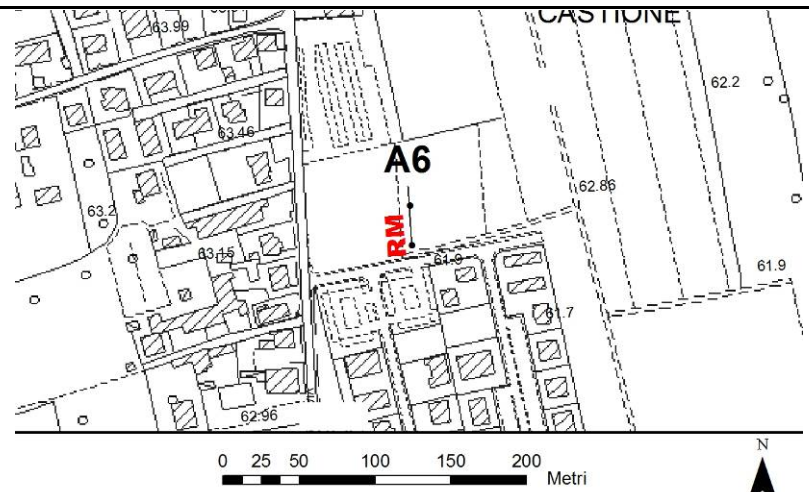
MISURA IN ARRAY DI TIPO RE.MI.

Progressivo	A4	
Coordinata X inizio Gauss-Boaga	1719877	
Coordinata Y inizio Gauss-Boaga	5066759	
Coordinata X fine Gauss-Boaga	1719913	
Coordinata Y fine Gauss-Boaga	5066776	
Anno	2015	
Attendibilità della misura	alta	
		
		
<i>Modelled rayleigh wave phase velocity</i>	<i>Profilo Vs</i>	<i>Ubicazione</i>

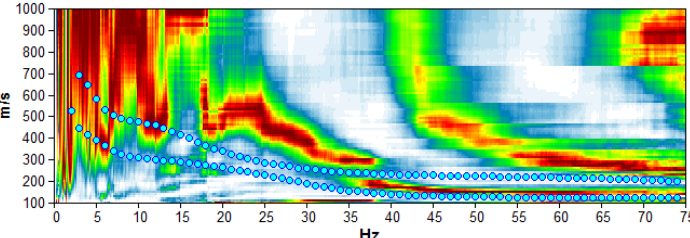
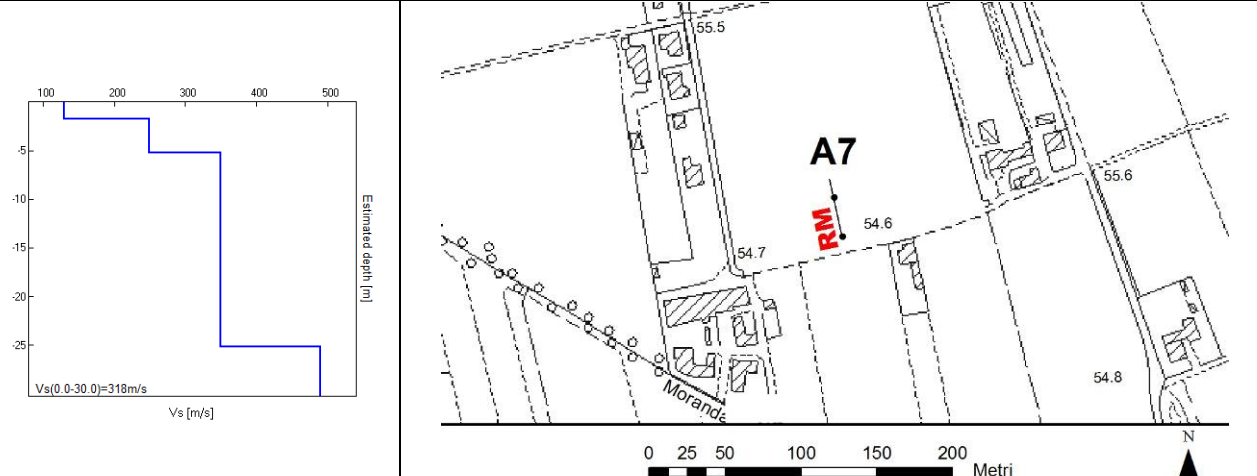
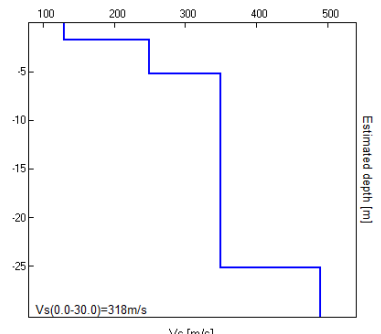
MISURA IN ARRAY DI TIPO RE.MI.

Progressivo	A5		
Coordinata X inizio Gauss-Boaga	1721401		
Coordinata Y inizio Gauss-Boaga	5065752		
Coordinata X fine Gauss-Boaga	1721440		
Coordinata Y fine Gauss-Boaga	5065761		
Anno	2015		
Attendibilità della misura	alta		
			
			
Modelled rayleigh wave phase velocity	Profilo Vs		
Ubicazione			

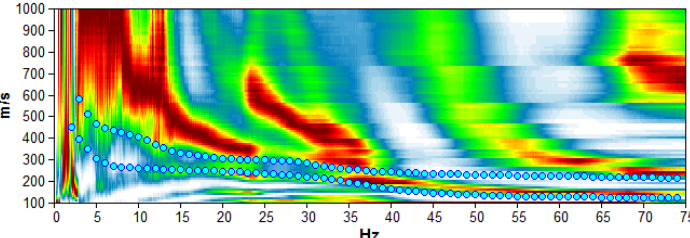
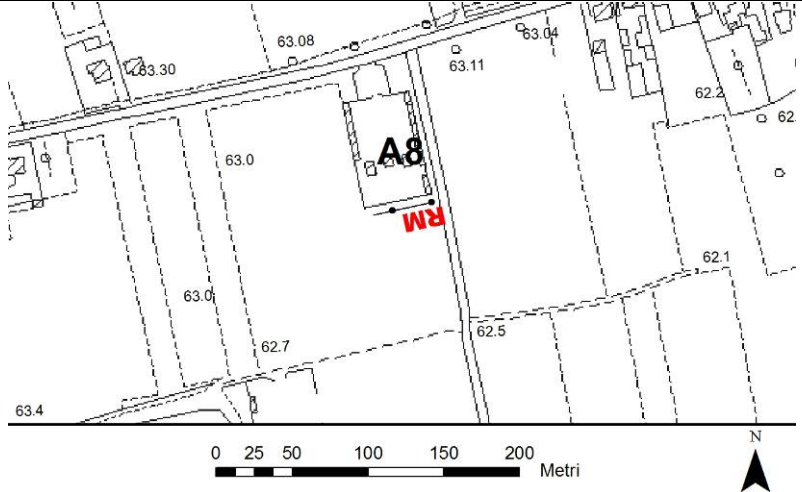
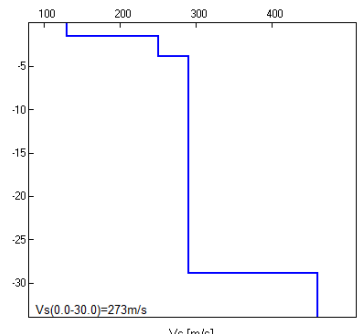
MISURA IN ARRAY DI TIPO RE.MI.

Progressivo	A6		
Coordinata X inizio Gauss-Boaga	1720611		
Coordinata Y inizio Gauss-Boaga	5063983		
Coordinata X fine Gauss-Boaga	1720608		
Coordinata Y fine Gauss-Boaga	5064022		
Anno	2015		
Attendibilità della misura	alta		
			
			
Modelled rayleigh wave phase velocity			
Profilo Vs			
Ubicazione			

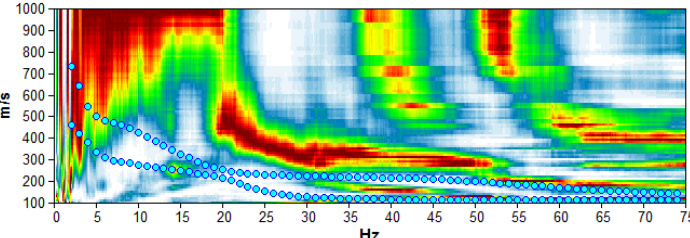
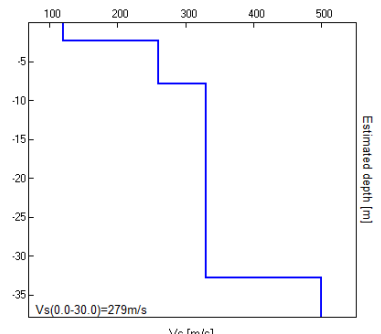
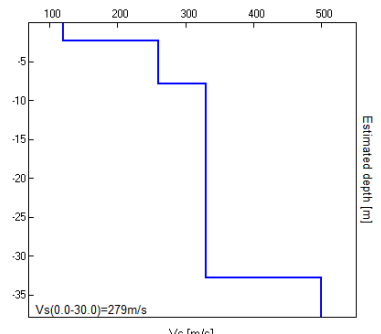
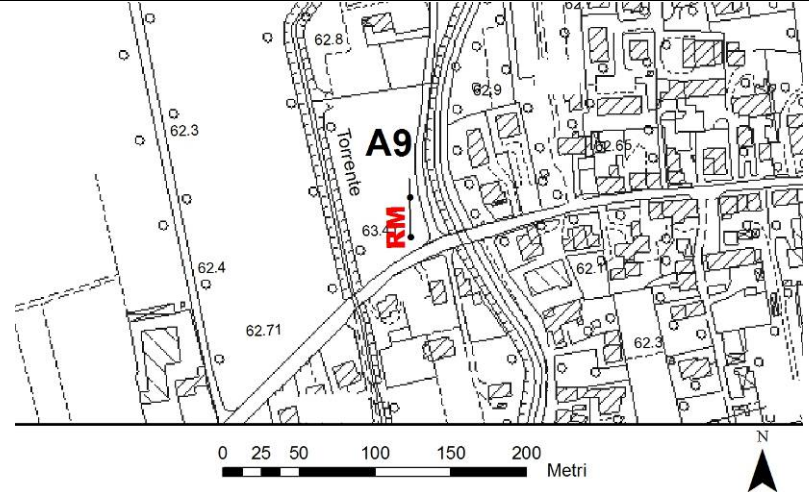
MISURA IN ARRAY DI TIPO RE.MI.

Progressivo	A7		
Coordinata X inizio Gauss-Boaga	1721112		
Coordinata Y inizio Gauss-Boaga	5062416		
Coordinata X fine Gauss-Boaga	1721104		
Coordinata Y fine Gauss-Boaga	5062455		
Anno	2015		
Attendibilità della misura	alta		
			
			
Modelled rayleigh wave phase velocity			
Profilo Vs		Ubicazione	

MISURA IN ARRAY DI TIPO RE.MI.

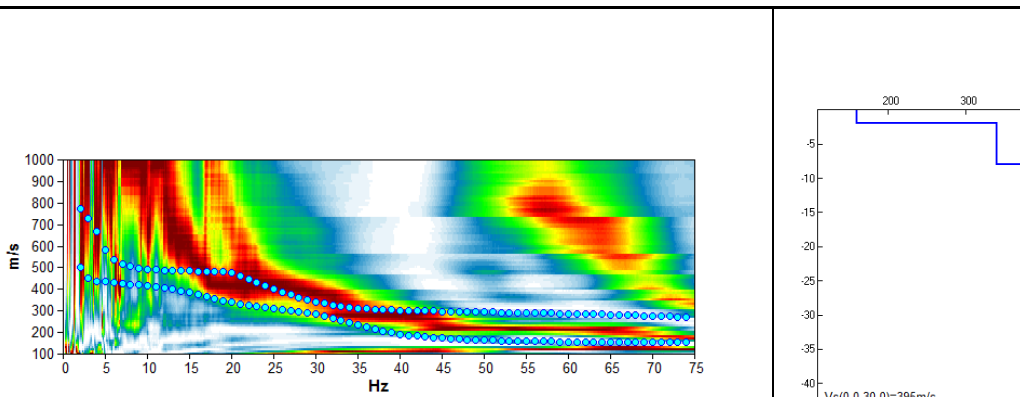
Progressivo	A8	
Coordinata X inizio Gauss-Boaga	1722778	
Coordinata Y inizio Gauss-Boaga	5066023	
Coordinata X fine Gauss-Boaga	1722739	
Coordinata Y fine Gauss-Boaga	5066015	
Anno	2015	
Attendibilità della misura	alta	
		
		
<i>Modelled rayleigh wave phase velocity</i>	<i>Profilo Vs</i>	<i>Ubicazione</i>

MISURA IN ARRAY DI TIPO RE.MI.

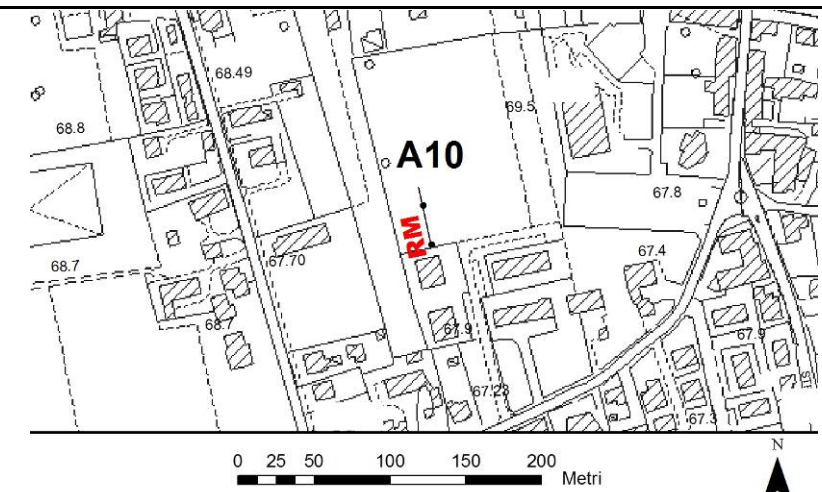
Progressivo	A9		
Coordinata X inizio Gauss-Boaga	1723905		
Coordinata Y inizio Gauss-Boaga	5066762		
Coordinata X fine Gauss-Boaga	1723904		
Coordinata Y fine Gauss-Boaga	5066802		
Anno	2015		
Attendibilità della misura	alta		
			
			
<p>Modelled rayleigh wave phase velocity</p>			
<p>Profilo Vs</p>			
<p>Ubicazione</p>			

MISURA IN ARRAY DI TIPO RE.MI.

Progressivo	A10
Coordinata X inizio Gauss-Boaga	1722789
Coordinata Y inizio Gauss-Boaga	5067704
Coordinata X fine Gauss-Boaga	1722781
Coordinata Y fine Gauss-Boaga	5067743
Anno	2015
Attendibilità della misura	alta



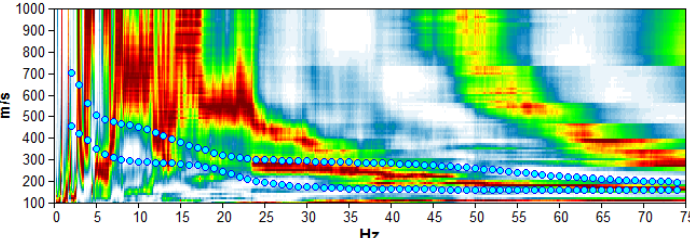
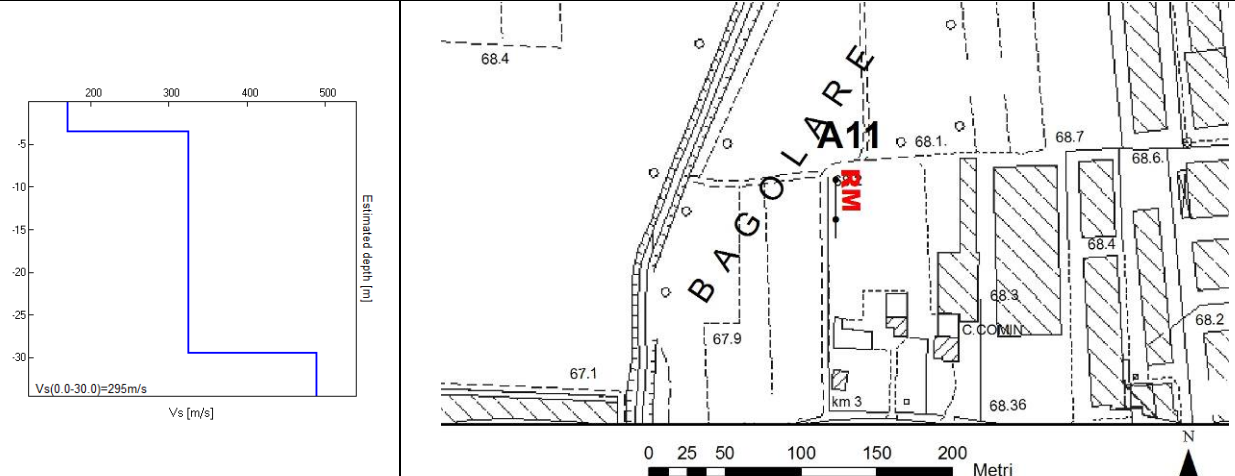
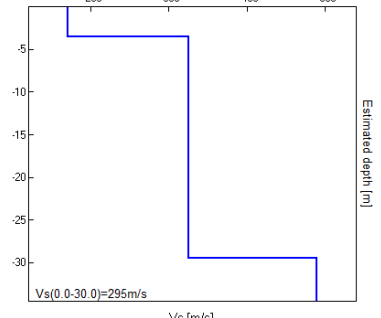
Modelled rayleigh wave phase velocity



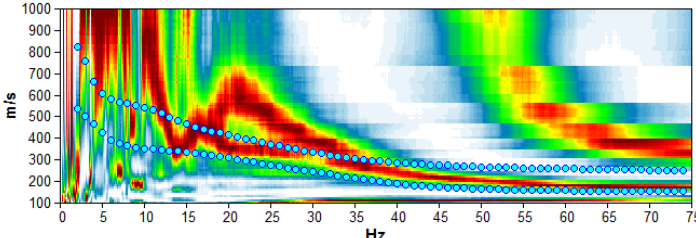
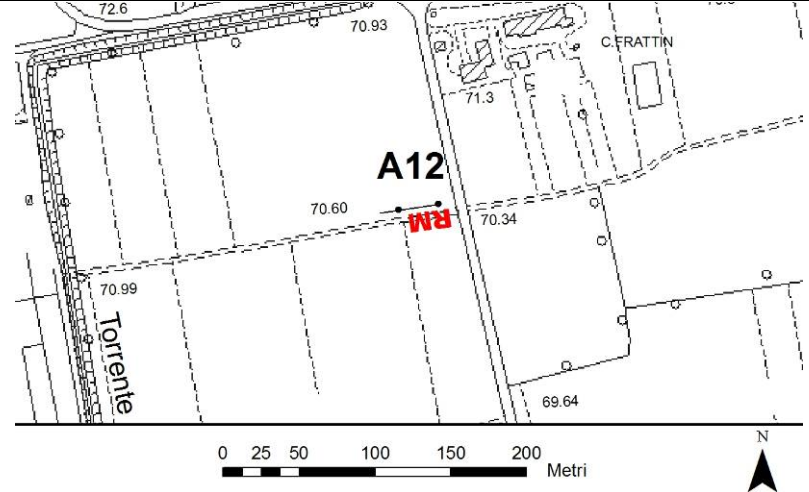
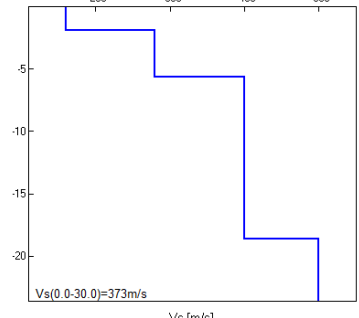
Profilo Vs

Ubicazione

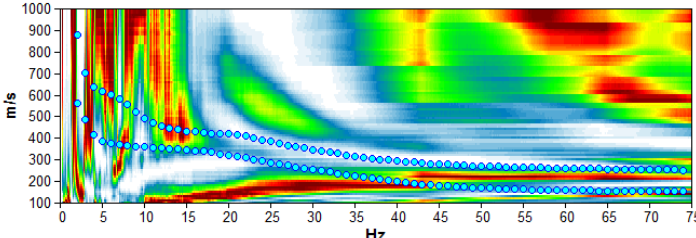
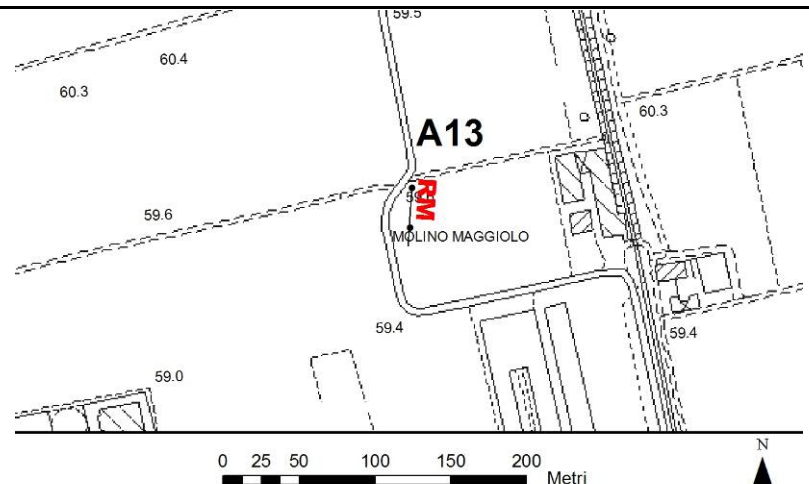
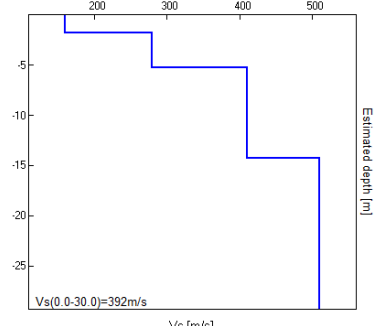
MISURA IN ARRAY DI TIPO RE.MI.

Progressivo	A11	
Coordinata X inizio Gauss-Boaga	1723747	
Coordinata Y inizio Gauss-Boaga	5068807	
Coordinata X fine Gauss-Boaga	1723748	
Coordinata Y fine Gauss-Boaga	5068767	
Anno	2015	
Attendibilità della misura	alta	
		
<i>Modelled rayleigh wave phase velocity</i>	<i>Profilo Vs</i>	
		<i>Ubicazione</i>

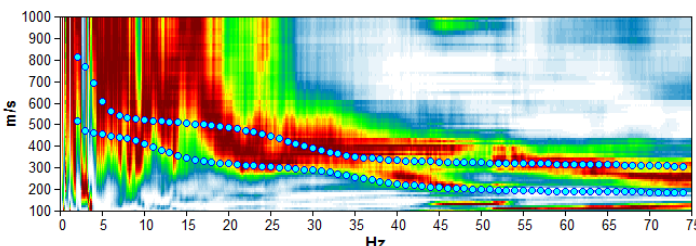
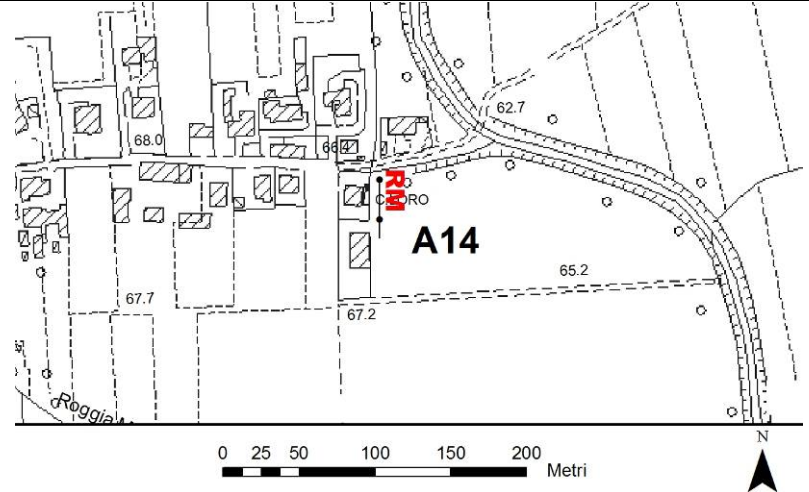
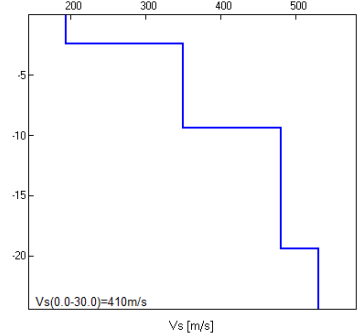
MISURA IN ARRAY DI TIPO RE.MI.

Progressivo	A12	
Coordinata X inizio Gauss-Boaga	1721630	
Coordinata Y inizio Gauss-Boaga	5066935	
Coordinata X fine Gauss-Boaga	1721590	
Coordinata Y fine Gauss-Boaga	5066929	
Anno	2015	
Attendibilità della misura	alta	
		
		
<i>Modelled rayleigh wave phase velocity</i>	<i>Profilo Vs</i>	<i>Ubicazione</i>

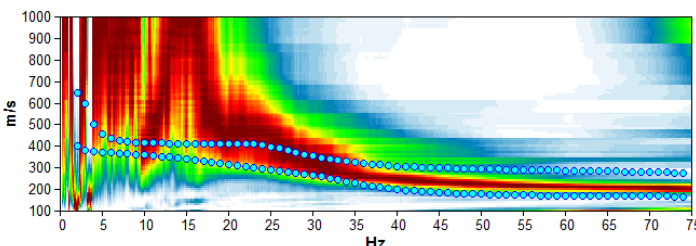
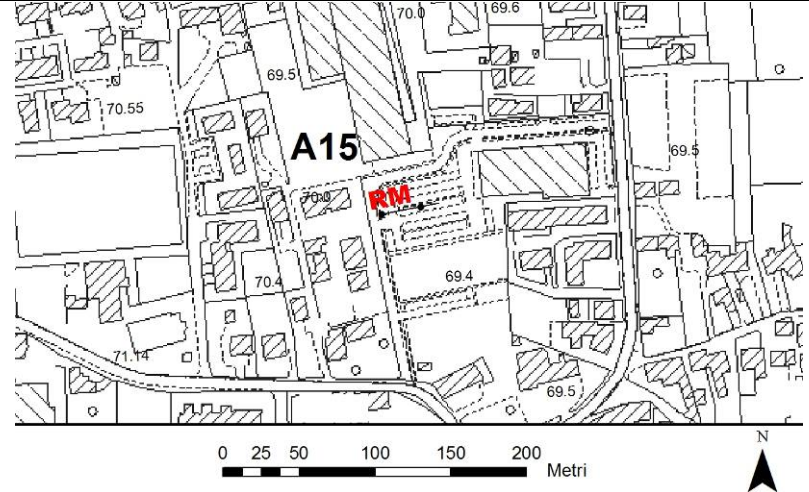
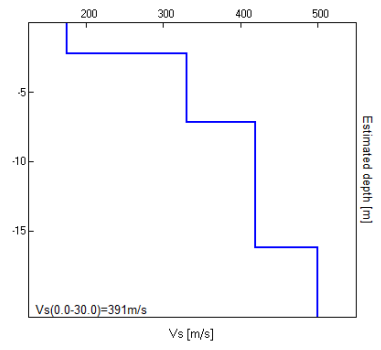
MISURA IN ARRAY DI TIPO RE.MI.

Progressivo	A13	
Coordinata X inizio Gauss-Boaga	1723778	
Coordinata Y inizio Gauss-Boaga	5065873	
Coordinata X fine Gauss-Boaga	1723776	
Coordinata Y fine Gauss-Boaga	5065833	
Anno	2015	
Attendibilità della misura	alta	
		
		
Modelled rayleigh wave phase velocity	Profilo Vs	Ubicazione

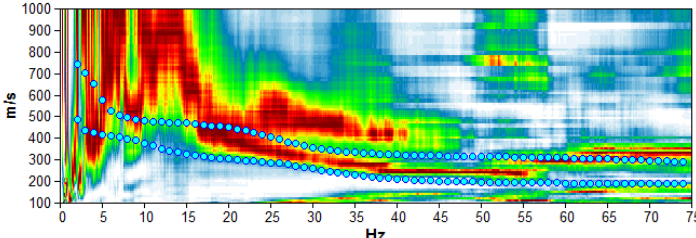
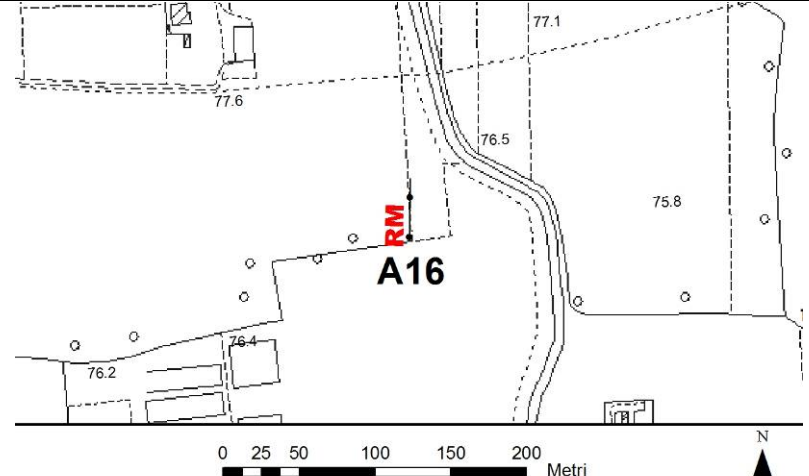
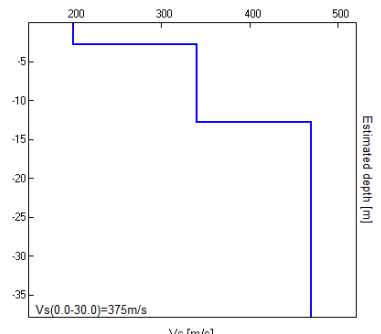
MISURA IN ARRAY DI TIPO RE.MI.

Progressivo	A14		
Coordinata X inizio Gauss-Boaga	1723433		
Coordinata Y inizio Gauss-Boaga	5068094		
Coordinata X fine Gauss-Boaga	1723433		
Coordinata Y fine Gauss-Boaga	5068054		
Anno	2015		
Attendibilità della misura	alta		
			
<i>Modelled rayleigh wave phase velocity</i>	<i>Profilo Vs</i>		
			
Ubicazione			

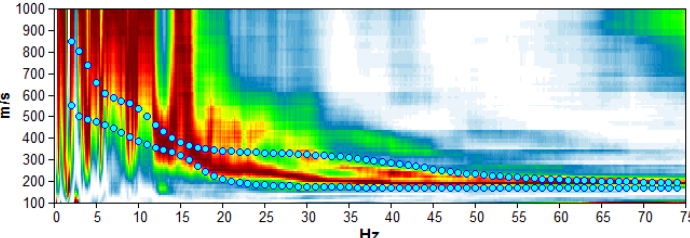
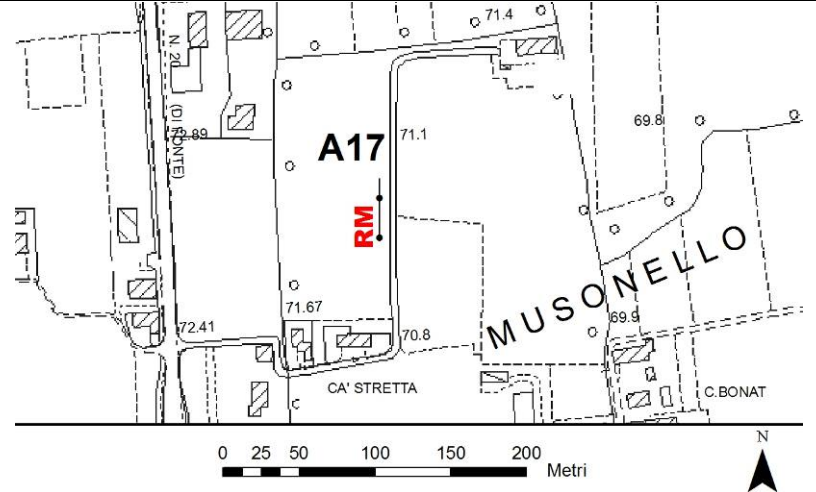
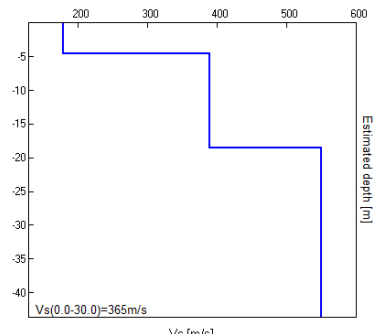
MISURA IN ARRAY DI TIPO RE.MI.

Progressivo	A15	
Coordinata X inizio Gauss-Boaga	1722920	
Coordinata Y inizio Gauss-Boaga	5068166	
Coordinata X fine Gauss-Boaga	1722960	
Coordinata Y fine Gauss-Boaga	5068174	
Anno	2015	
Attendibilità della misura	alta	
		
		
<i>Modelled rayleigh wave phase velocity</i>	<i>Profilo Vs</i>	<i>Ubicazione</i>

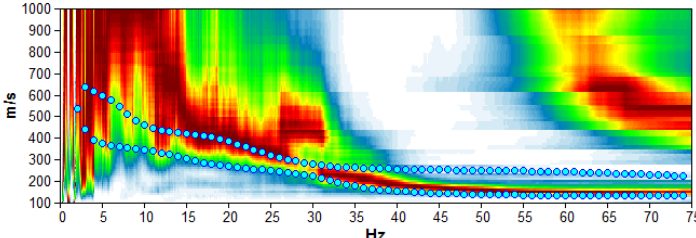
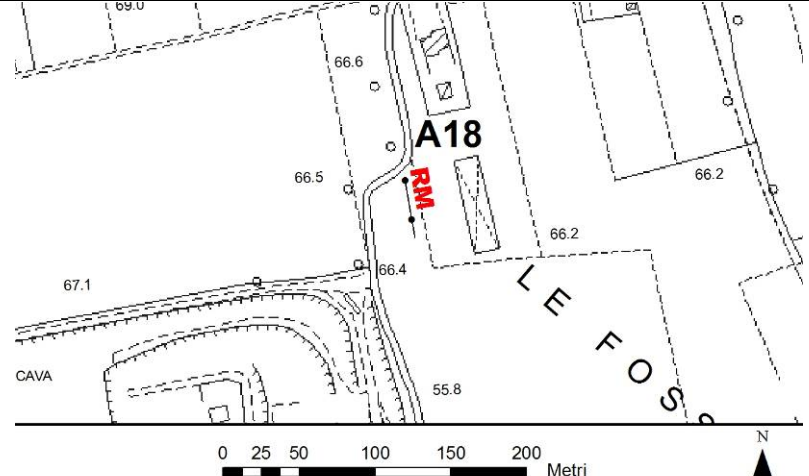
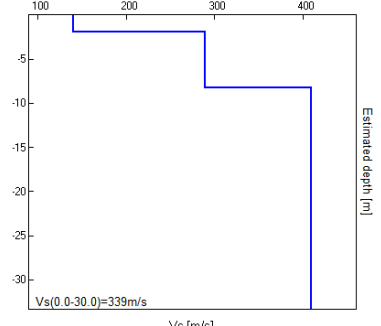
MISURA IN ARRAY DI TIPO RE.MI.

Progressivo	A16		
Coordinata X inizio Gauss-Boaga	1722135		
Coordinata Y inizio Gauss-Boaga	5069342		
Coordinata X fine Gauss-Boaga	1722136		
Coordinata Y fine Gauss-Boaga	5069382		
Anno	2015		
Attendibilità della misura	alta		
			
			
Modelled rayleigh wave phase velocity		Profilo Vs	Ubicazione

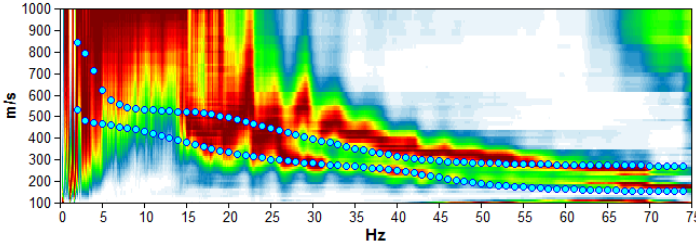
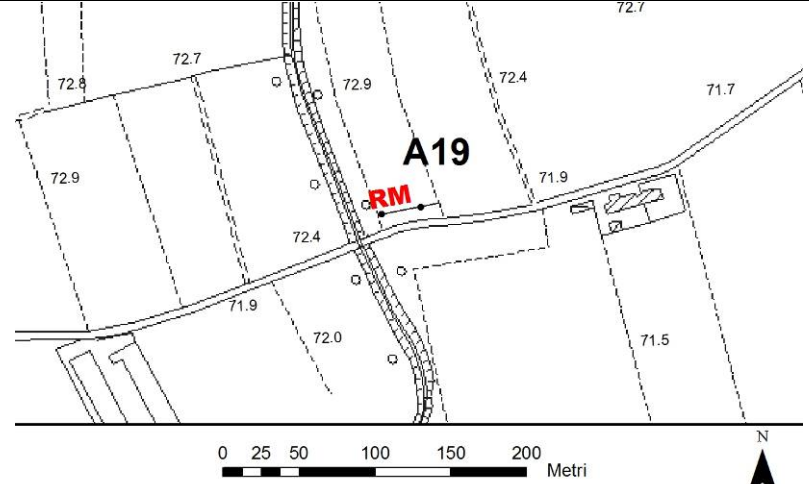
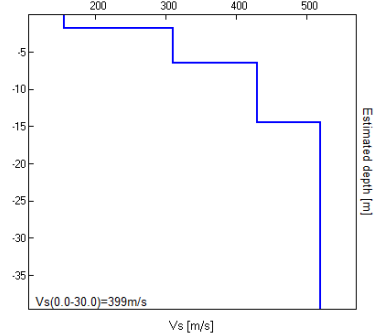
MISURA IN ARRAY DI TIPO RE.MI.

Progressivo	A17		
Coordinata X inizio Gauss-Boaga	1723159		
Coordinata Y inizio Gauss-Boaga	5069191		
Coordinata X fine Gauss-Boaga	1723159		
Coordinata Y fine Gauss-Boaga	5069231		
Anno	2015		
Attendibilità della misura	alta		
			
			
<i>Modelled rayleigh wave phase velocity</i>	<i>Profilo Vs</i>		
A17 RM MUSONELLO CA' STRETTA C.BONAT		Ubicazione	

MISURA IN ARRAY DI TIPO RE.MI.

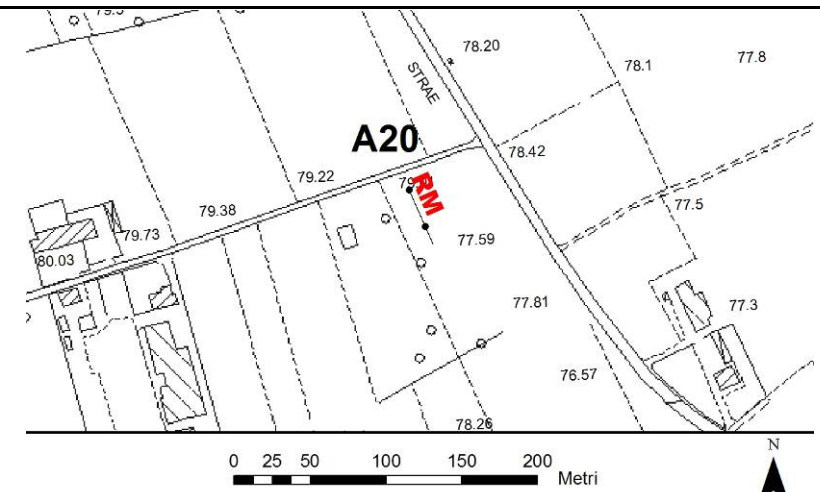
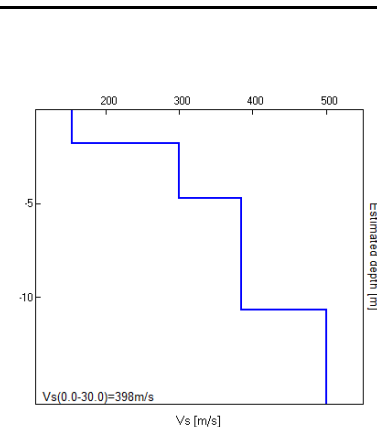
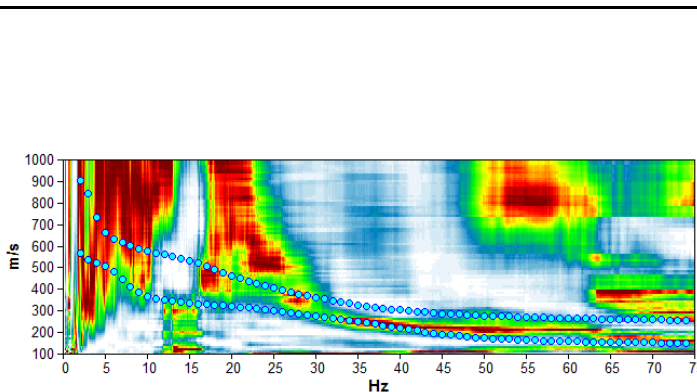
Progressivo	A18	
Coordinata X inizio Gauss-Boaga	1722617	
Coordinata Y inizio Gauss-Boaga	5067215	
Coordinata X fine Gauss-Boaga	1722625	
Coordinata Y fine Gauss-Boaga	5067176	
Anno	2015	
Attendibilità della misura	alta	
		
		
<i>Modelled rayleigh wave phase velocity</i>	<i>Profilo Vs</i>	<i>Ubicazione</i>

MISURA IN ARRAY DI TIPO RE.MI.

Progressivo	A19	
Coordinata X inizio Gauss-Boaga	1721650	
Coordinata Y inizio Gauss-Boaga	5067483	
Coordinata X fine Gauss-Boaga	1721689	
Coordinata Y fine Gauss-Boaga	5067490	
Anno	2015	
Attendibilità della misura	alta	
		
		
<i>Modelled rayleigh wave phase velocity</i>	<i>Profilo Vs</i>	<i>Ubicazione</i>

MISURA IN ARRAY DI TIPO RE.MI.

Progressivo	A20
Coordinata X inizio Gauss-Boaga	1720019
Coordinata Y inizio Gauss-Boaga	5067449
Coordinata X fine Gauss-Boaga	1720035
Coordinata Y fine Gauss-Boaga	5067413
Anno	2015
Attendibilità della misura	alta

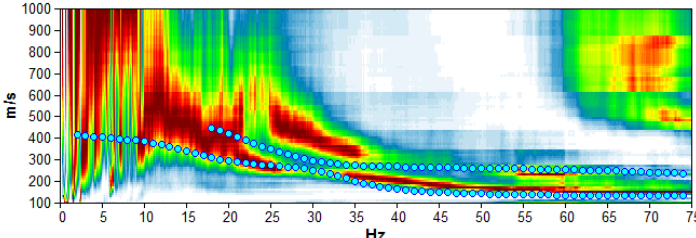
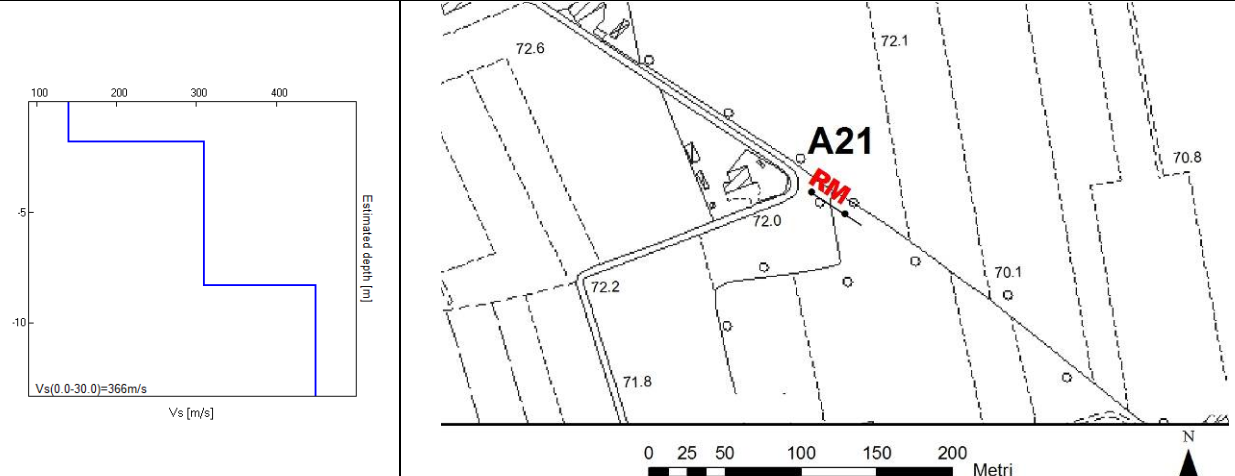
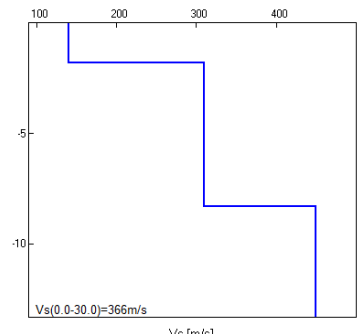


Modelled rayleigh wave phase velocity

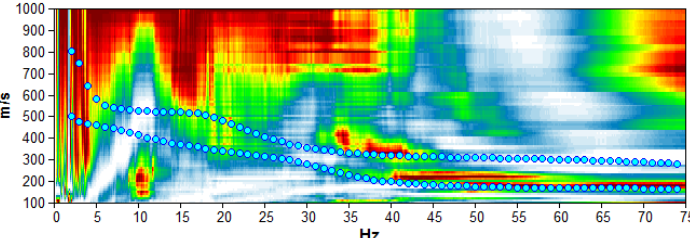
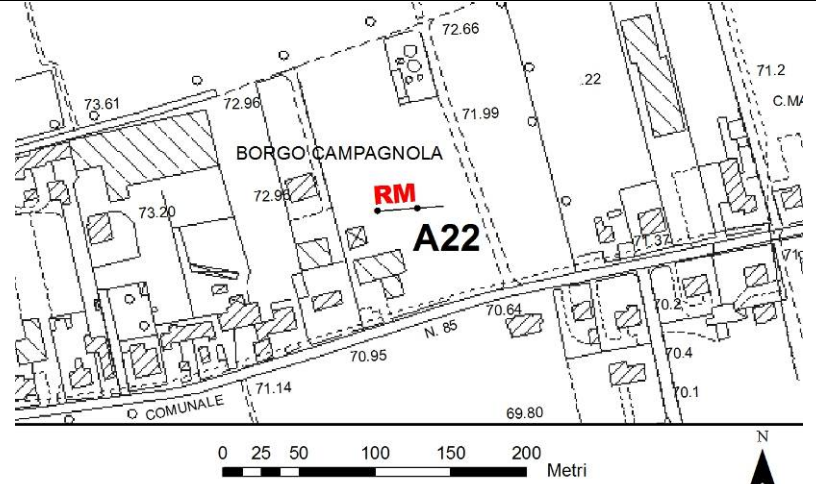
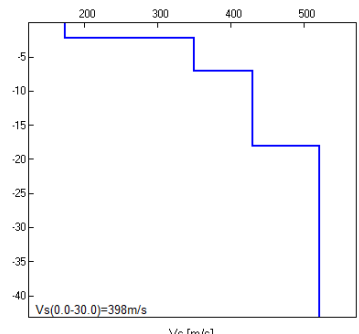
Profilo Vs

Ubicazione

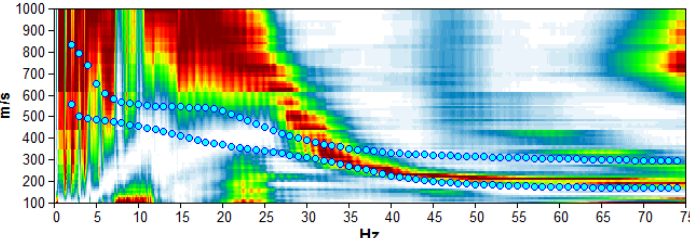
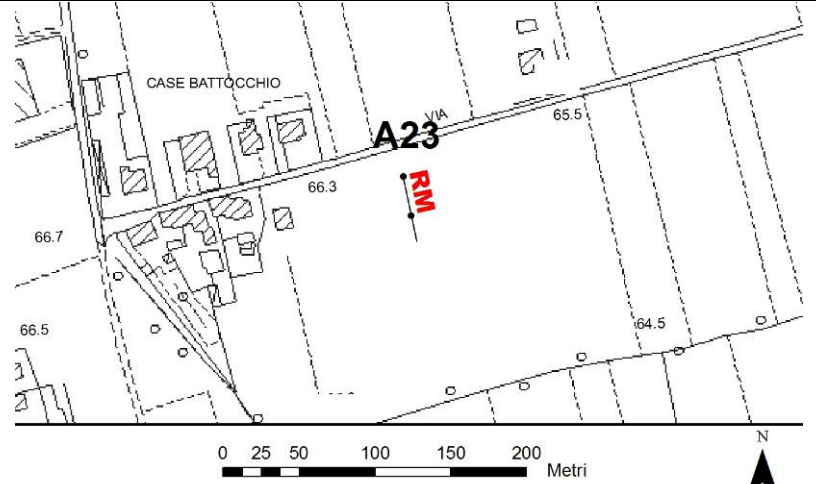
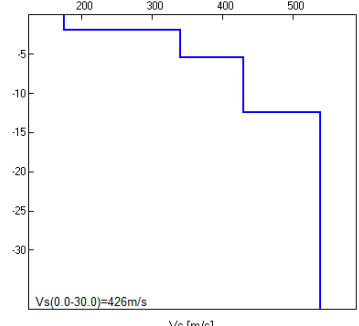
MISURA IN ARRAY DI TIPO RE.MI.

Progressivo	A21	
Coordinata X inizio Gauss-Boaga	1721090	
Coordinata Y inizio Gauss-Boaga	5066598	
Coordinata X fine Gauss-Boaga	1721124	
Coordinata Y fine Gauss-Boaga	5066576	
Anno	2015	
Attendibilità della misura	alta	
		
		
<i>Modelled rayleigh wave phase velocity</i>	<i>Profilo Vs</i>	<i>Ubicazione</i>

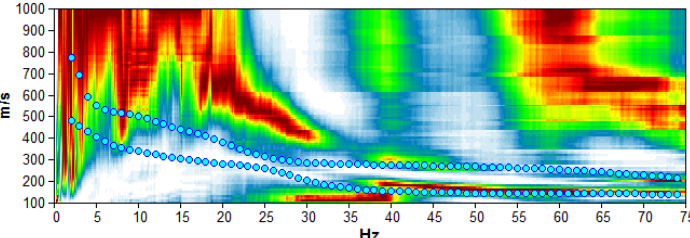
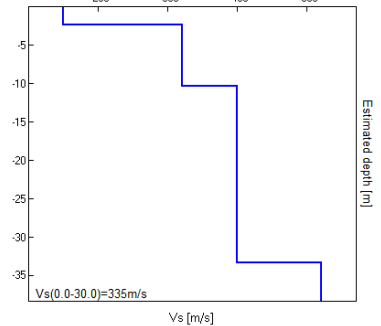
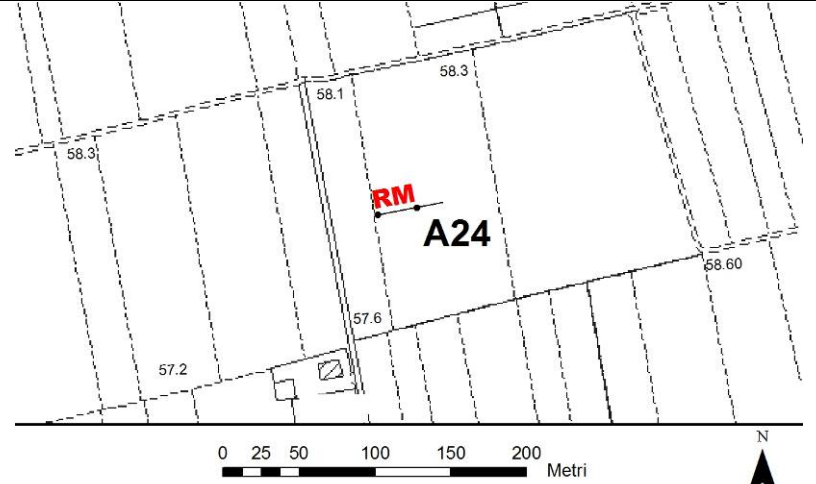
MISURA IN ARRAY DI TIPO RE.MI.

Progressivo	A22	
Coordinata X inizio Gauss-Boaga	1720266	
Coordinata Y inizio Gauss-Boaga	5065741	
Coordinata X fine Gauss-Boaga	1720311	
Coordinata Y fine Gauss-Boaga	5065744	
Anno	2015	
Attendibilità della misura	alta	
		
		
<i>Modelled rayleigh wave phase velocity</i>	<i>Profilo Vs</i>	<i>Ubicazione</i>

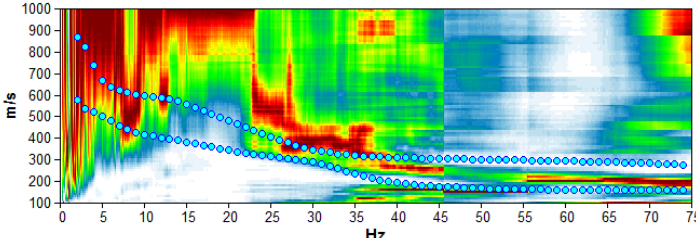
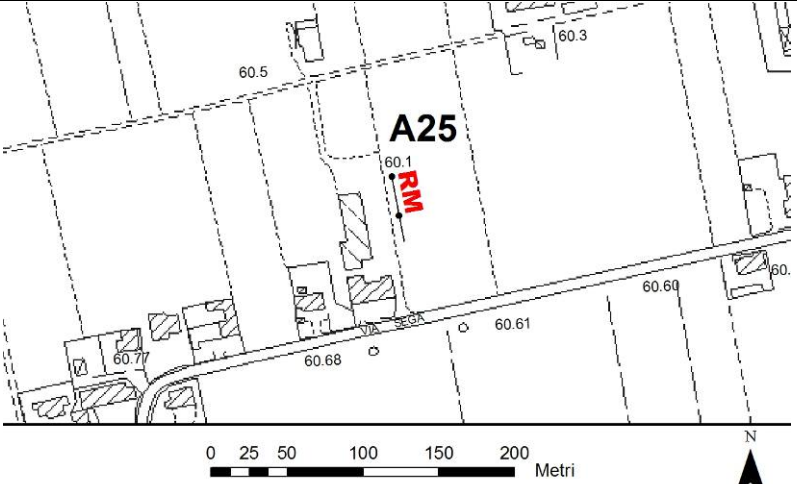
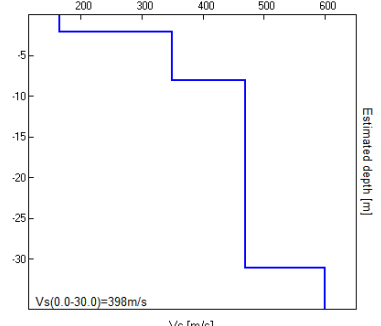
MISURA IN ARRAY DI TIPO RE.MI.

Progressivo	A23	
Coordinata X inizio Gauss-Boaga	1719486	
Coordinata Y inizio Gauss-Boaga	5063813	
Coordinata X fine Gauss-Boaga	1719495	
Coordinata Y fine Gauss-Boaga	5063769	
Anno	2015	
Attendibilità della misura	alta	
		
		
<i>Modelled rayleigh wave phase velocity</i>	<i>Profilo Vs</i>	<i>Ubicazione</i>

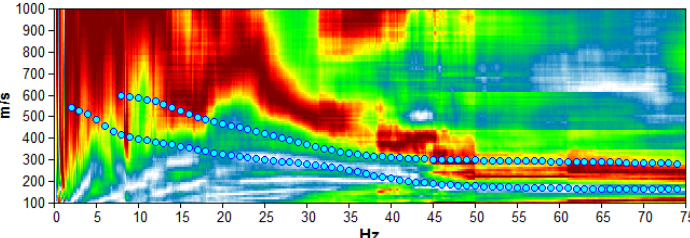
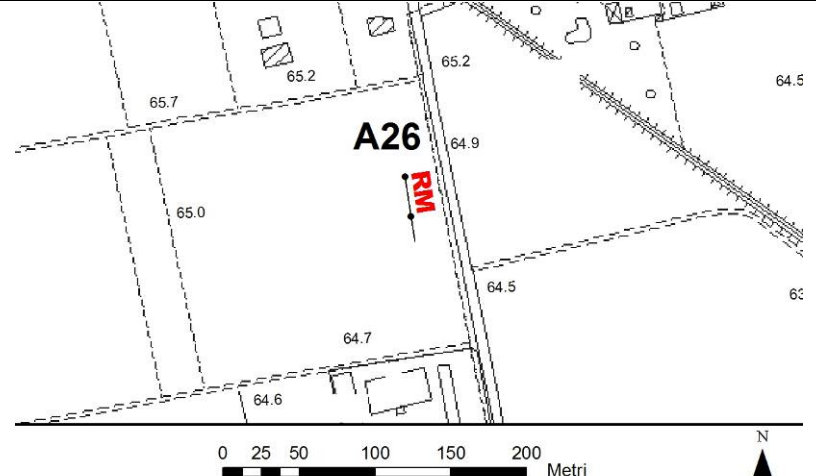
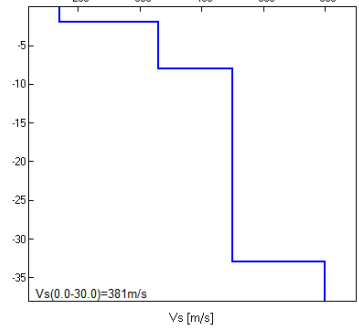
MISURA IN ARRAY DI TIPO RE.MI.

Progressivo	A24	
Coordinata X inizio Gauss-Boaga	1720959	
Coordinata Y inizio Gauss-Boaga	5063009	
Coordinata X fine Gauss-Boaga	1721003	
Coordinata Y fine Gauss-Boaga	5063018	
Anno	2015	
Attendibilità della misura	alta	
		
Modelled rayleigh wave phase velocity		
Profilo Vs		
Ubicazione		

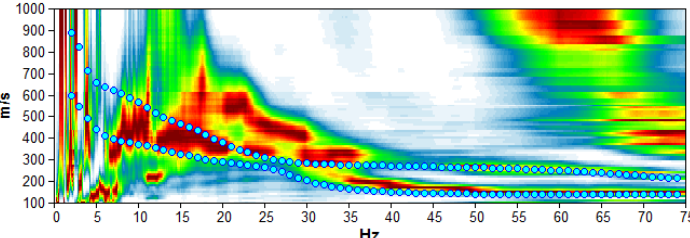
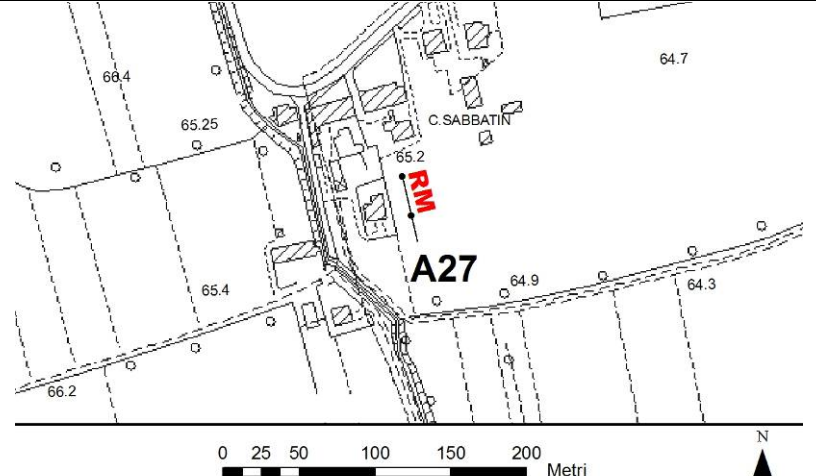
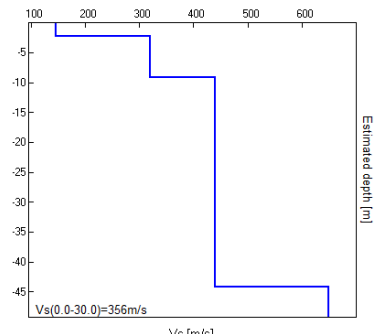
MISURA IN ARRAY DI TIPO RE.MI.

Progressivo	A25		
Coordinata X inizio Gauss-Boaga	1720272		
Coordinata Y inizio Gauss-Boaga	5063222		
Coordinata X fine Gauss-Boaga	1720280		
Coordinata Y fine Gauss-Boaga	5063178		
Anno	2015		
Attendibilità della misura	alta		
			
			
<i>Modelled rayleigh wave phase velocity</i>	<i>Profilo Vs</i>		
Ubicazione			

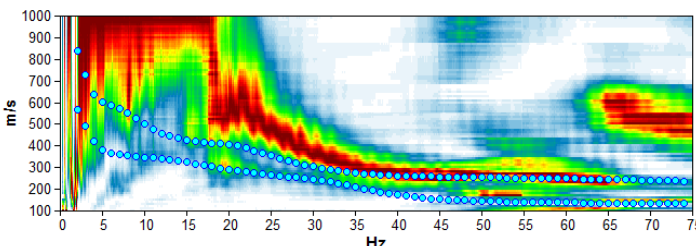
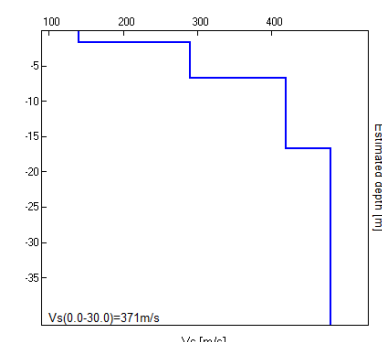
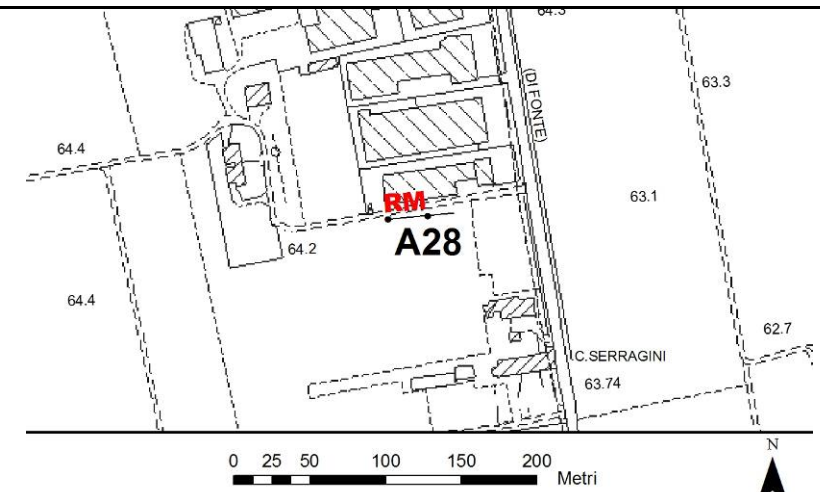
MISURA IN ARRAY DI TIPO RE.MI.

Progressivo	A26	
Coordinata X inizio Gauss-Boaga	1721503	
Coordinata Y inizio Gauss-Boaga	5065156	
Coordinata X fine Gauss-Boaga	1721510	
Coordinata Y fine Gauss-Boaga	5065111	
Anno	2015	
Attendibilità della misura	alta	
		
		
Modelled rayleigh wave phase velocity		Ubicazione

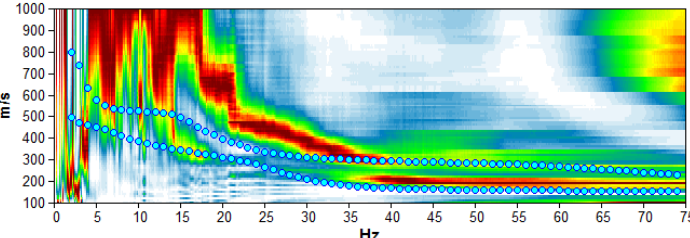
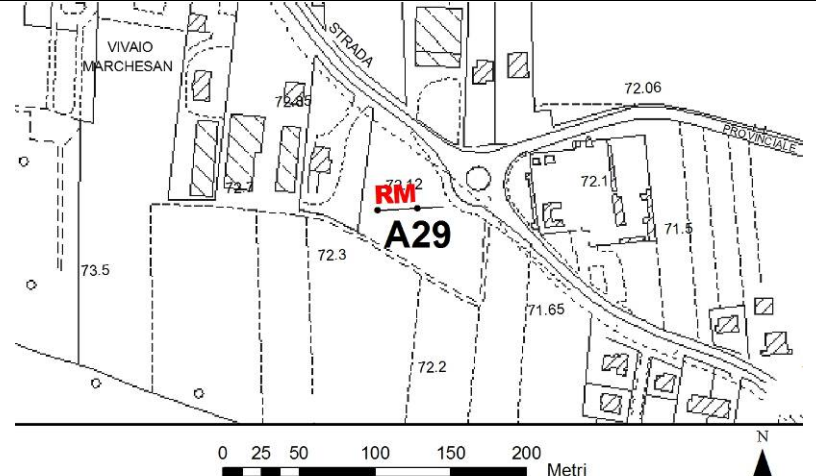
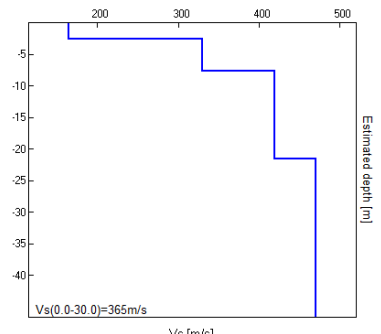
MISURA IN ARRAY DI TIPO RE.MI.

Progressivo	A27	
Coordinata X inizio Gauss-Boaga	1722029	
Coordinata Y inizio Gauss-Boaga	5065820	
Coordinata X fine Gauss-Boaga	1722039	
Coordinata Y fine Gauss-Boaga	5065776	
Anno	2015	
Attendibilità della misura	alta	
		
		
Modelled rayleigh wave phase velocity	Profilo Vs	Ubicazione

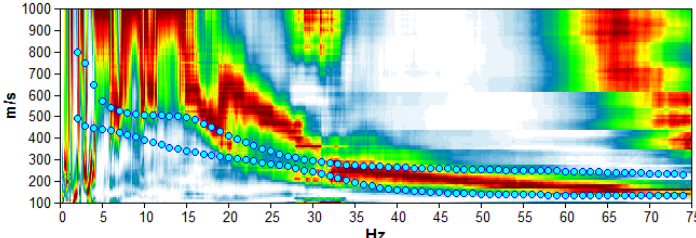
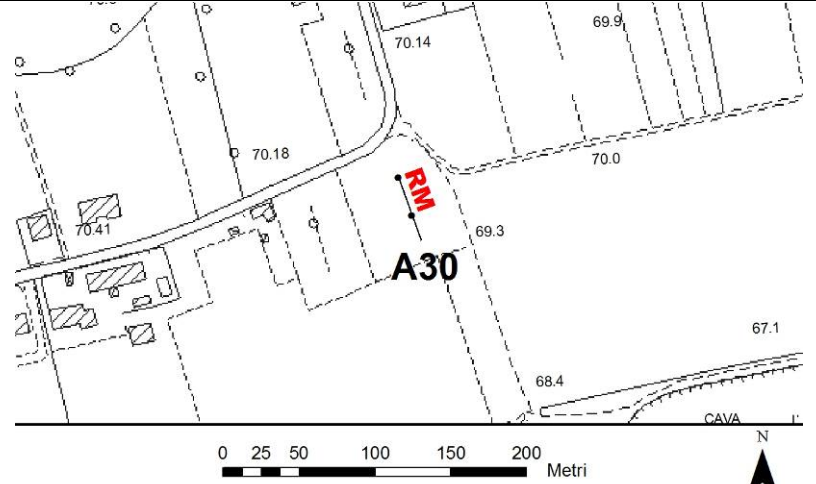
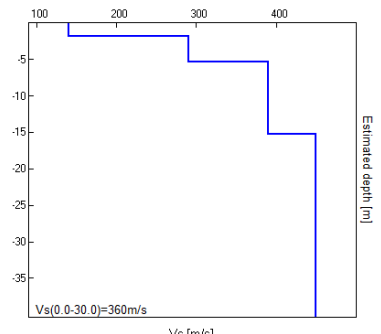
MISURA IN ARRAY DI TIPO RE.MI.

Progressivo	A28	
Coordinata X inizio Gauss-Boaga	1723094	
Coordinata Y inizio Gauss-Boaga	5066718	
Coordinata X fine Gauss-Boaga	1723139	
Coordinata Y fine Gauss-Boaga	5066723	
Anno	2015	
Attendibilità della misura	alta	
		
$Vs(0.0-30.0) = 371 \text{ m/s}$		
Modelled rayleigh wave phase velocity		
Profilo Vs		Ubicazione

MISURA IN ARRAY DI TIPO RE.MI.

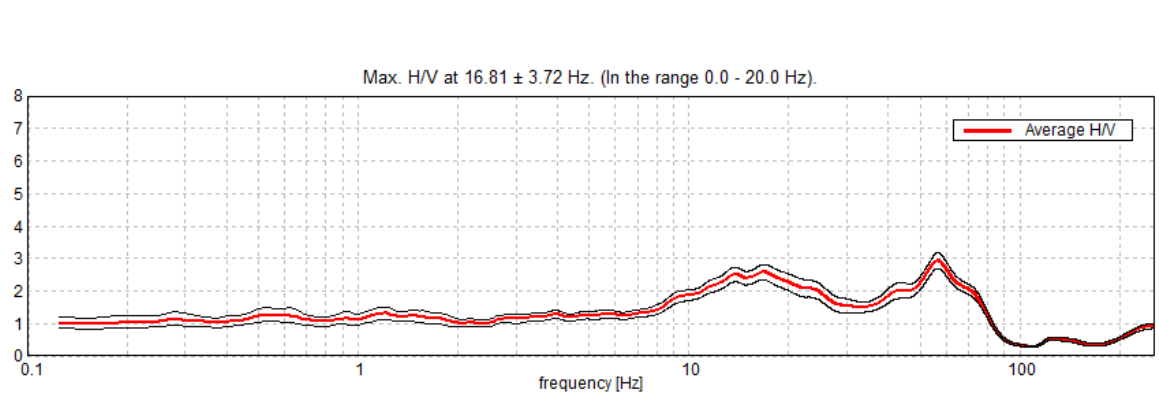
Progressivo	A29	
Coordinata X inizio Gauss-Boaga	1722222	
Coordinata Y inizio Gauss-Boaga	5068298	
Coordinata X fine Gauss-Boaga	1722266	
Coordinata Y fine Gauss-Boaga	5068300	
Anno	2015	
Attendibilità della misura	alta	
		
		
Modelled rayleigh wave phase velocity		Ubicazione

MISURA IN ARRAY DI TIPO RE.MI.

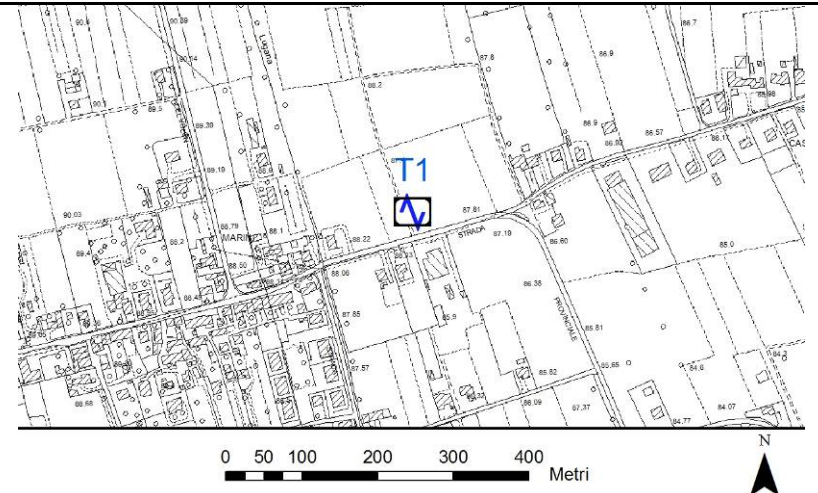
Progressivo	A30	
Coordinata X inizio Gauss-Boaga	1722159	
Coordinata Y inizio Gauss-Boaga	5067245	
Coordinata X fine Gauss-Boaga	1722174	
Coordinata Y fine Gauss-Boaga	5067203	
Anno	2015	
Attendibilità della misura	alta	
		
		
Modelled rayleigh wave phase velocity		Ubicazione

MISURA SISMICA H.V.S.R.

Progressivo	T1
Coordinata X Gauss-Boaga	1719222
Coordinata Y Gauss-Boaga	5068764
Quota p.c. s.l.m.	88 m
Frequenza di risonanza massima tra 0,1 e 20,0 Hz	16,81 Hz
Condizione di amplificazione tra 0,1 e 20,0 Hz	si
Anno di misura	2015
Presenza di artefatti	no



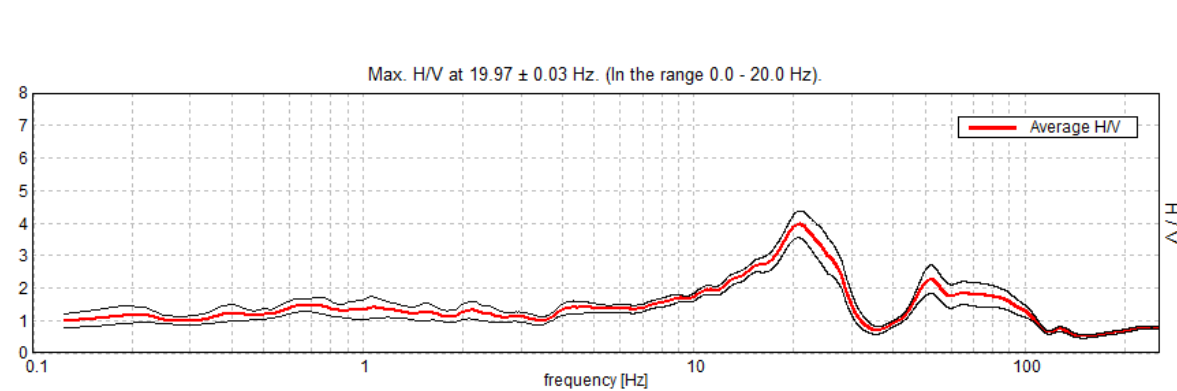
Andamento della curva H/V



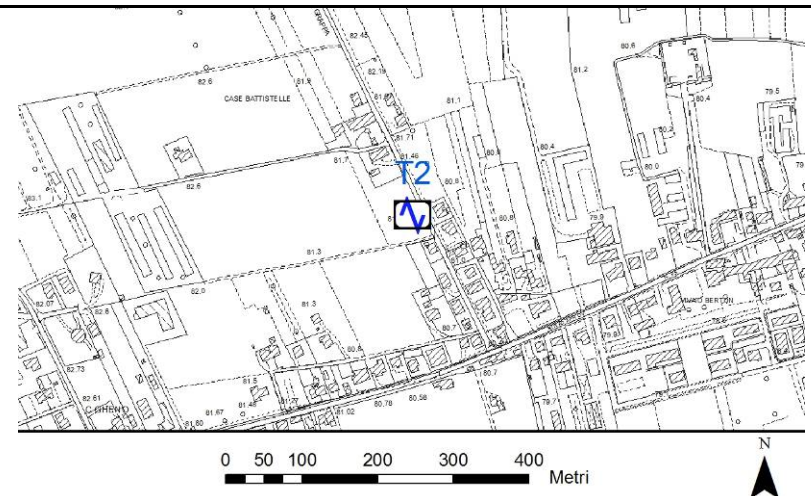
Ubicazione

MISURA SISMICA H.V.S.R.

Progressivo	T2
Coordinata X Gauss-Boaga	1720363
Coordinata Y Gauss-Boaga	5068470
Quota p.c. s.l.m.	81 m
Frequenza di risonanza massima tra 0,1 e 20,0 Hz	19,97 Hz
Condizione di amplificazione tra 0,1 e 20,0 Hz	si
Anno di misura	2015
Presenza di artefatti	no

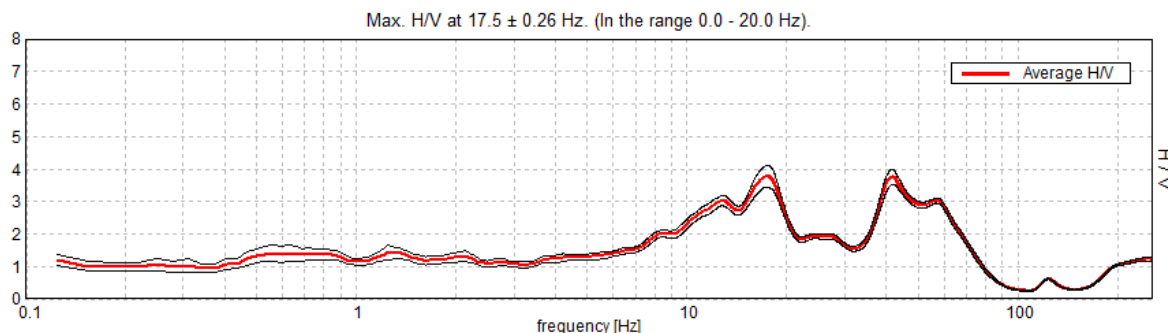


Andamento della curva H/V

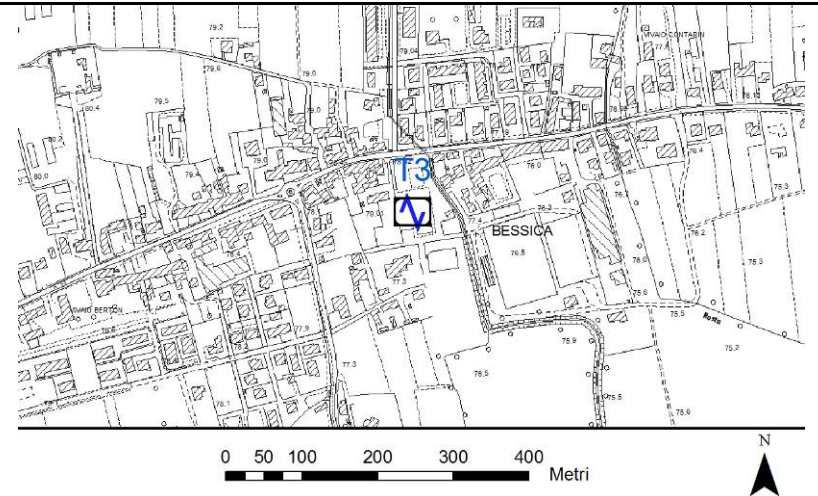


MISURA SISMICA H.V.S.R.

Progressivo	T3
Coordinata X Gauss-Boaga	1721170
Coordinata Y Gauss-Boaga	5068486
Quota p.c. s.l.m.	79 m
Frequenza di risonanza massima tra 0,1 e 20,0 Hz	17,5 Hz
Condizione di amplificazione tra 0,1 e 20,0 Hz	si
Anno di misura	2015
Presenza di artefatti	no



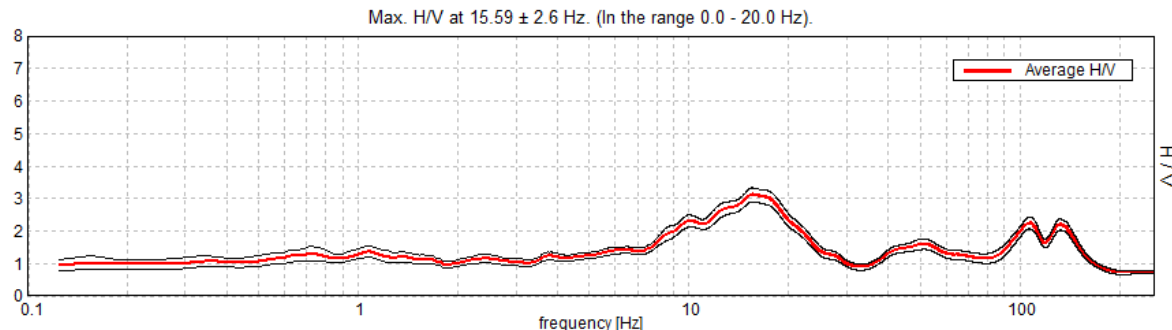
Andamento della curva H/V



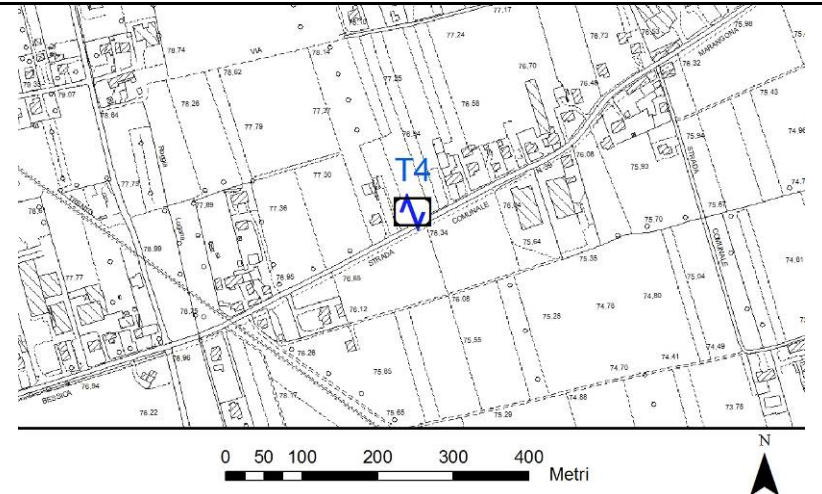
Ubicazione

MISURA SISMICA H.V.S.R.

Progressivo	T4
Coordinata X Gauss-Boaga	1719894
Coordinata Y Gauss-Boaga	5066773
Quota p.c. s.l.m.	76 m
Frequenza di risonanza massima tra 0,1 e 20,0 Hz	15,59 Hz
Condizione di amplificazione tra 0,1 e 20,0 Hz	si
Anno di misura	2015
Presenza di artefatti	no

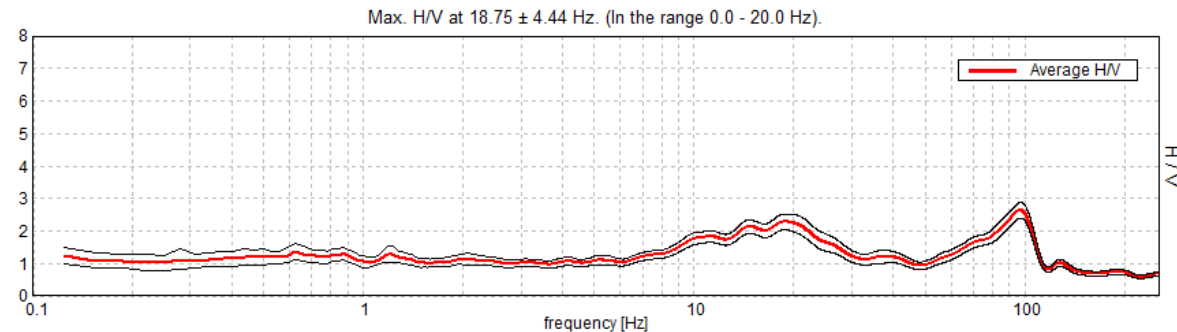
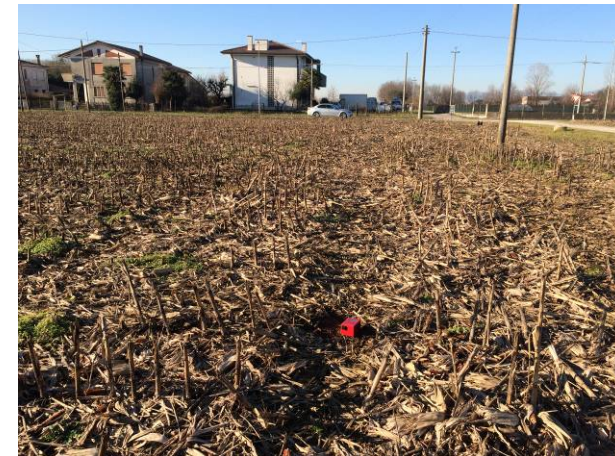


Andamento della curva H/V

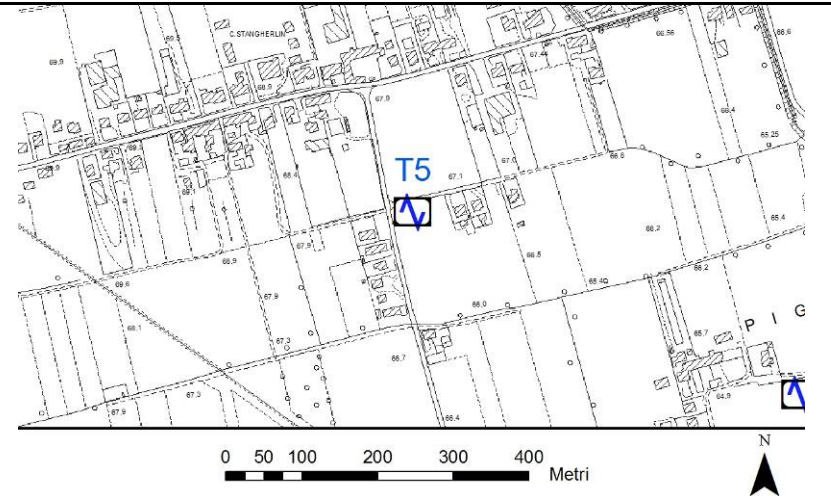


MISURA SISMICA H.V.S.R.

Progressivo	T5
Coordinata X Gauss-Boaga	1721422
Coordinata Y Gauss-Boaga	5065751
Quota p.c. s.l.m.	67 m
Frequenza di risonanza massima tra 0,1 e 20,0 Hz	18,75 Hz
Condizione di amplificazione tra 0,1 e 20,0 Hz	si
Anno di misura	2015
Presenza di artefatti	no



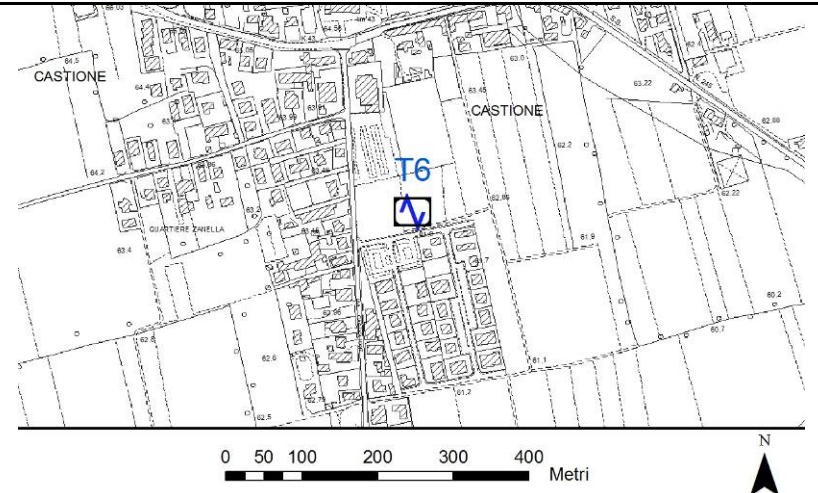
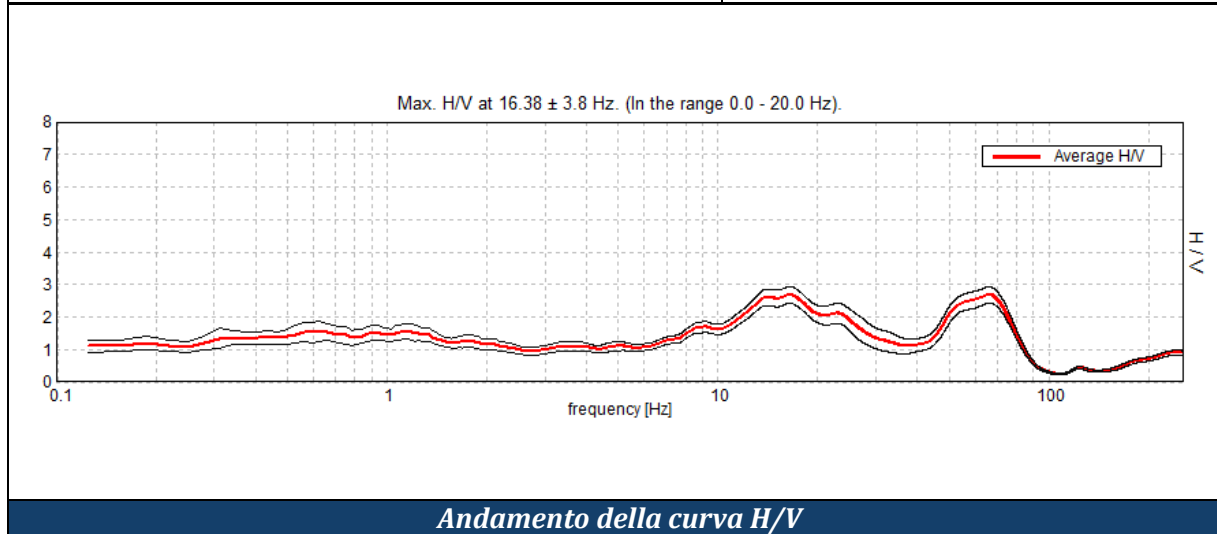
Andamento della curva H/V



Ubicazione

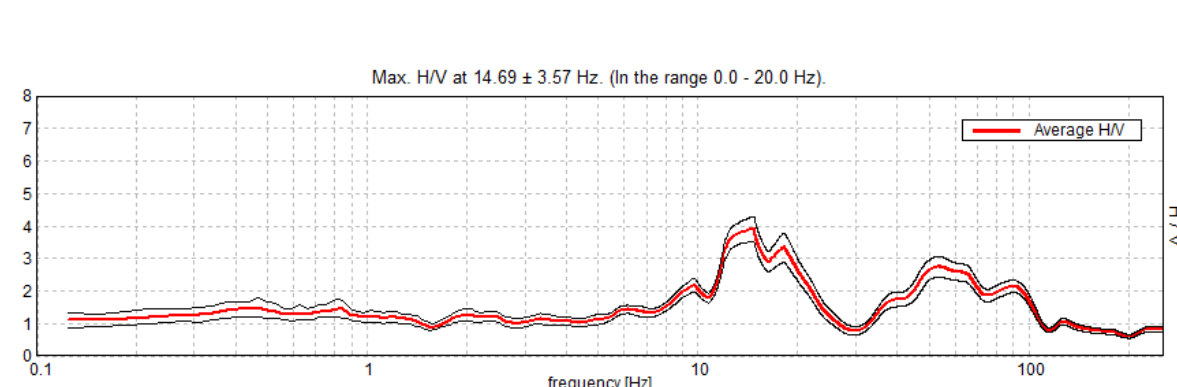
MISURA SISMICA H.V.S.R.

Progressivo	T6
Coordinata X Gauss-Boaga	1720616
Coordinata Y Gauss-Boaga	5064003
Quota p.c. s.l.m.	62 m
Frequenza di risonanza massima tra 0,1 e 20,0 Hz	16,38 Hz
Condizione di amplificazione tra 0,1 e 20,0 Hz	si
Anno di misura	2015
Presenza di artefatti	no

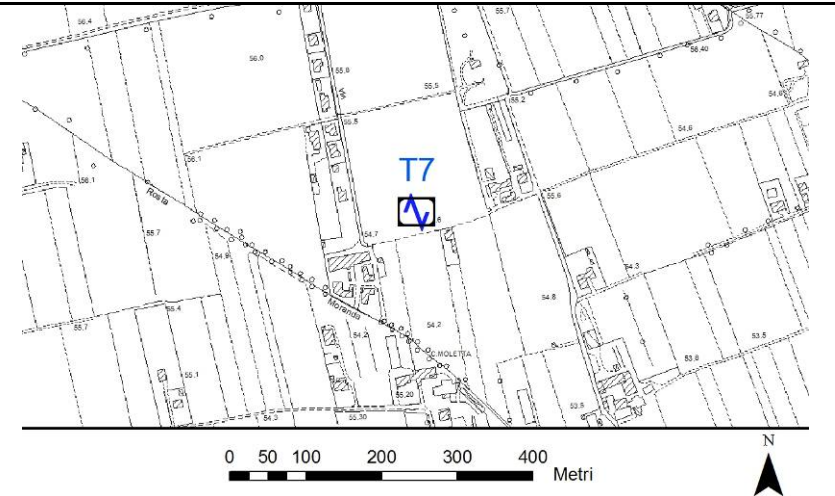


MISURA SISMICA H.V.S.R.

Progressivo	T7
Coordinata X Gauss-Boaga	1721112
Coordinata Y Gauss-Boaga	5062436
Quota p.c. s.l.m.	55 m
Frequenza di risonanza massima tra 0,1 e 20,0 Hz	14,69 Hz
Condizione di amplificazione tra 0,1 e 20,0 Hz	si
Anno di misura	2015
Presenza di artefatti	no

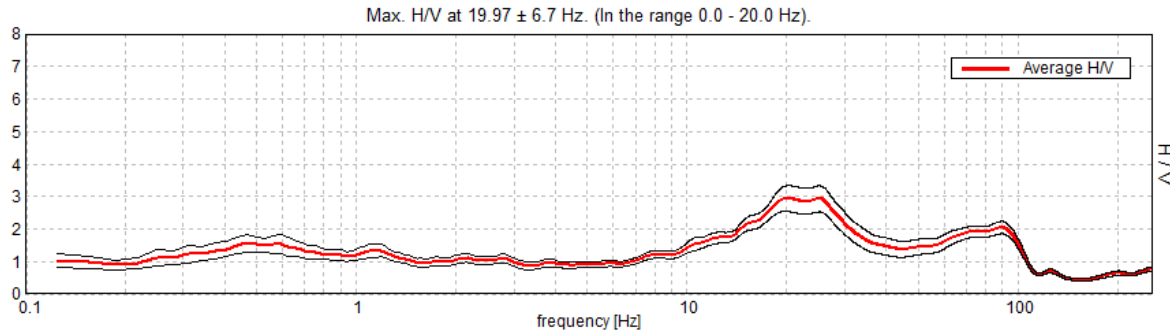


Andamento della curva H/V

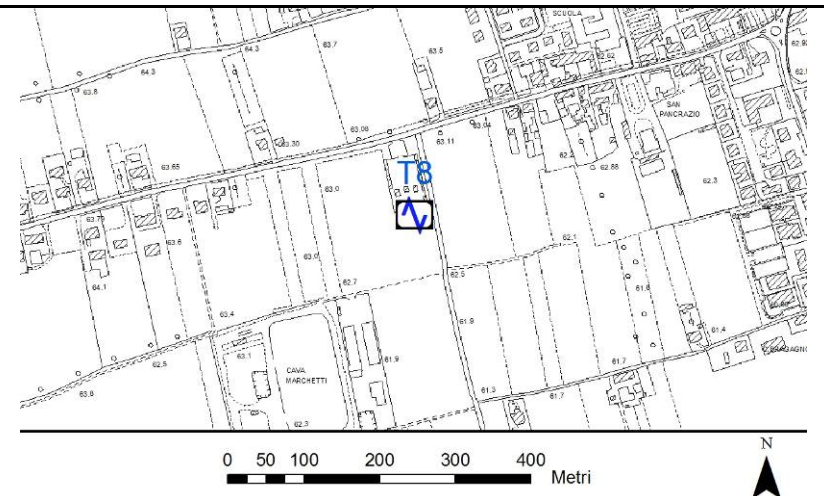


MISURA SISMICA H.V.S.R.

Progressivo	T8
Coordinata X Gauss-Boaga	1722760
Coordinata Y Gauss-Boaga	5066017
Quota p.c. s.l.m.	63 m
Frequenza di risonanza massima tra 0,1 e 20,0 Hz	19,97 Hz
Condizione di amplificazione tra 0,1 e 20,0 Hz	si
Anno di misura	2015
Presenza di artefatti	no



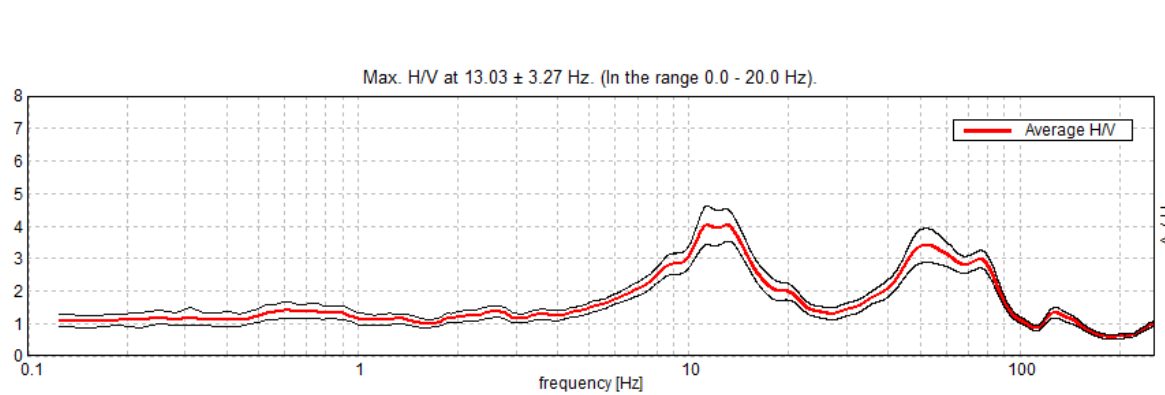
Andamento della curva H/V



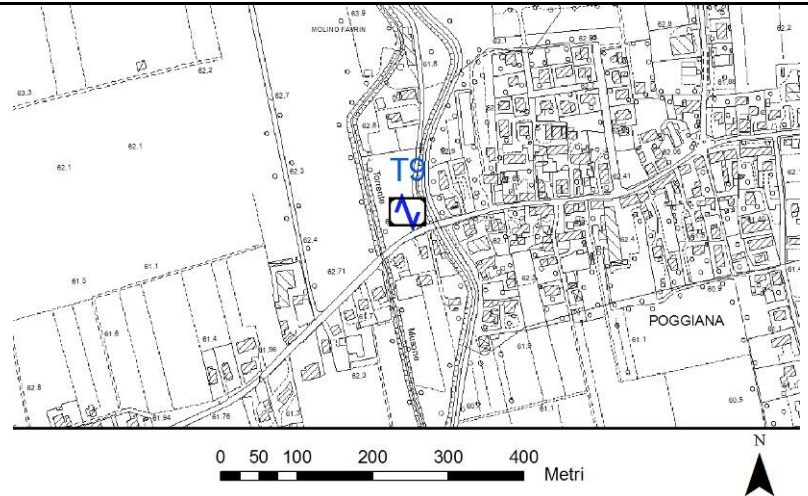
Ubicazione

MISURA SISMICA H.V.S.R.

Progressivo	T9
Coordinata X Gauss-Boaga	1723901
Coordinata Y Gauss-Boaga	5066780
Quota p.c. s.l.m.	63 m
Frequenza di risonanza massima tra 0,1 e 20,0 Hz	13,03 Hz
Condizione di amplificazione tra 0,1 e 20,0 Hz	si
Anno di misura	2015
Presenza di artefatti	no

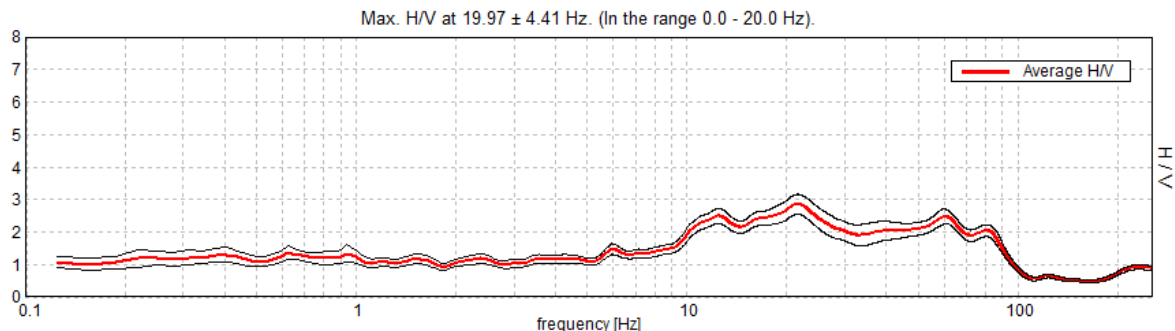


Andamento della curva H/V

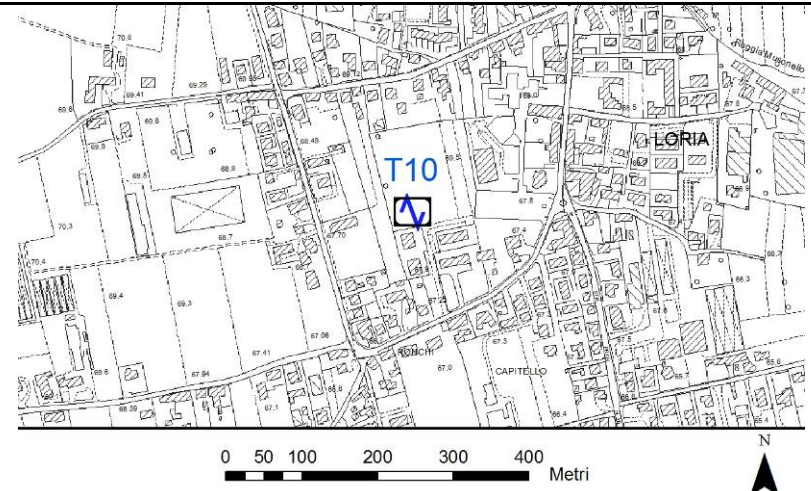


MISURA SISMICA H.V.S.R.

Progressivo	T10
Coordinata X Gauss-Boaga	1722794
Coordinata Y Gauss-Boaga	5067724
Quota p.c. s.l.m.	68 m
Frequenza di risonanza massima tra 0,1 e 20,0 Hz	19,97 Hz
Condizione di amplificazione tra 0,1 e 20,0 Hz	si
Anno di misura	2015
Presenza di artefatti	no



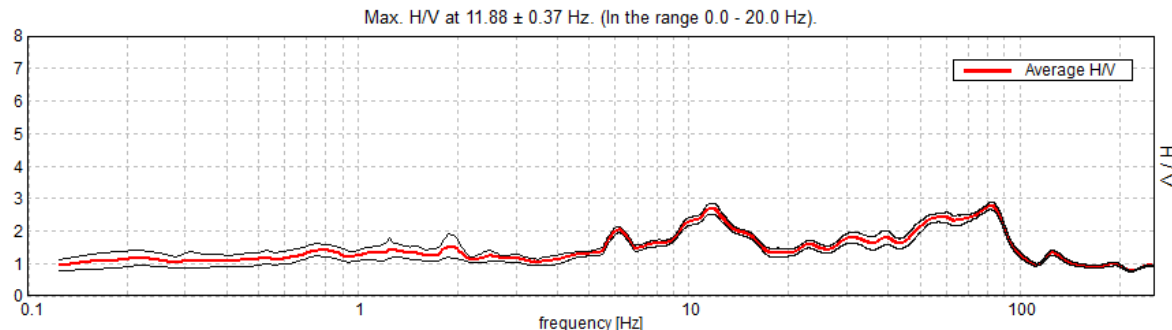
Andamento della curva H/V



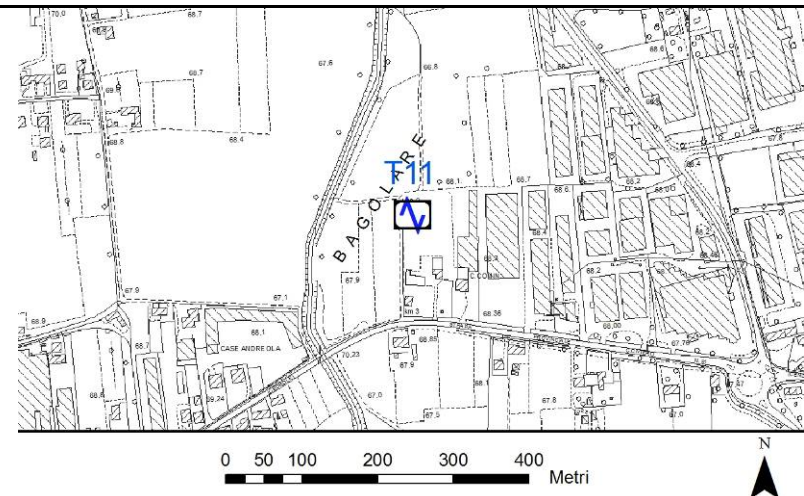
Ubicazione

MISURA SISMICA H.V.S.R.

Progressivo	T11
Coordinata X Gauss-Boaga	1723755
Coordinata Y Gauss-Boaga	5068787
Quota p.c. s.l.m.	68 m
Frequenza di risonanza massima tra 0,1 e 20,0 Hz	11,88 Hz
Condizione di amplificazione tra 0,1 e 20,0 Hz	si
Anno di misura	2015
Presenza di artefatti	si



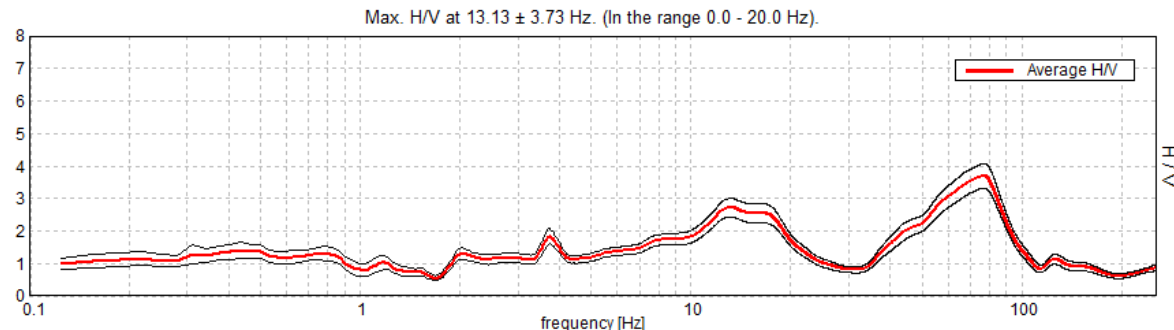
Andamento della curva H/V



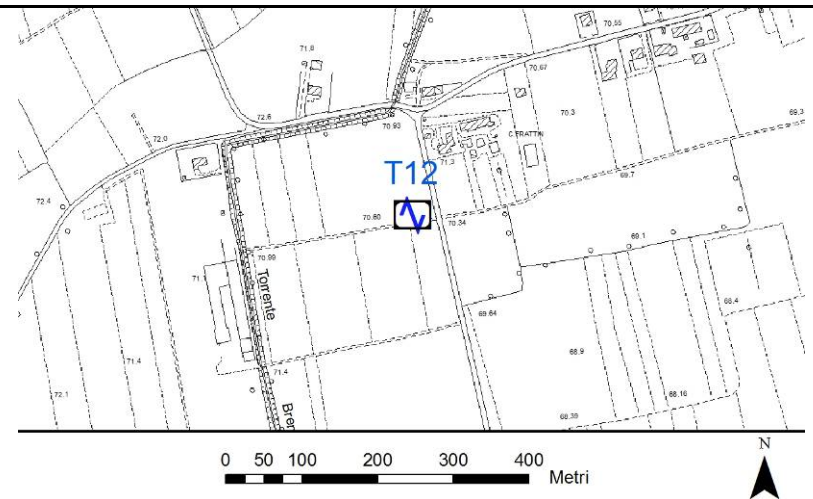
Ubicazione

MISURA SISMICA H.V.S.R.

Progressivo	T12
Coordinata X Gauss-Boaga	1721610
Coordinata Y Gauss-Boaga	5066935
Quota p.c. s.l.m.	71 m
Frequenza di risonanza massima tra 0,1 e 20,0 Hz	13,13 Hz
Condizione di amplificazione tra 0,1 e 20,0 Hz	si
Anno di misura	2015
Presenza di artefatti	si

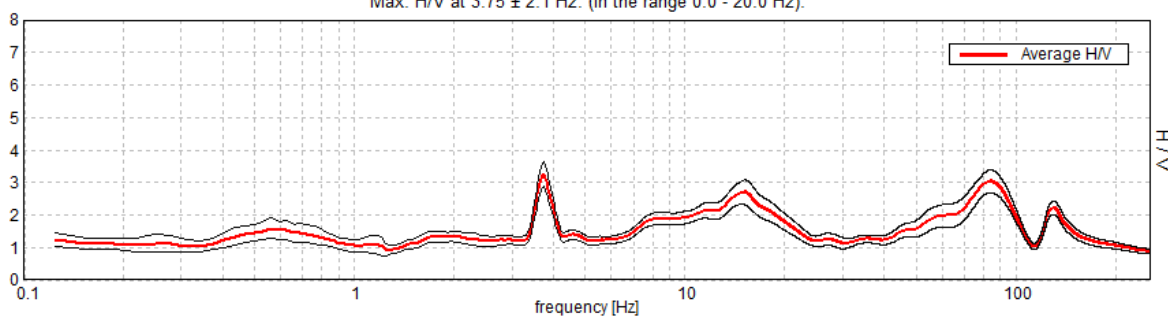
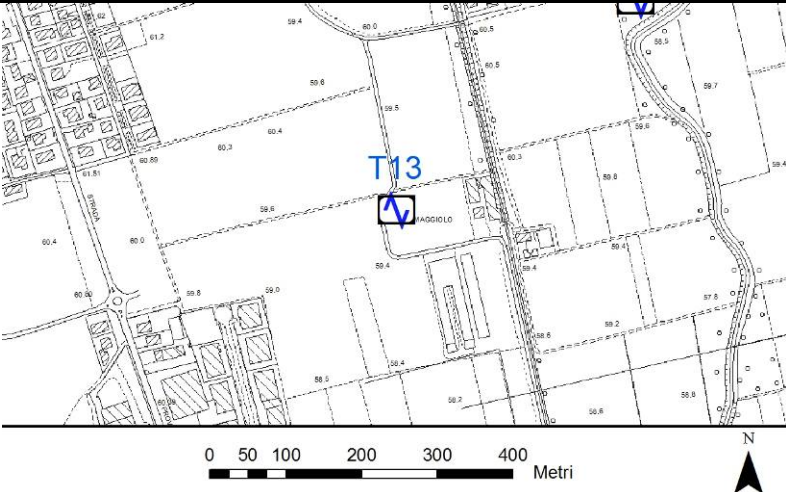


Andamento della curva H/V



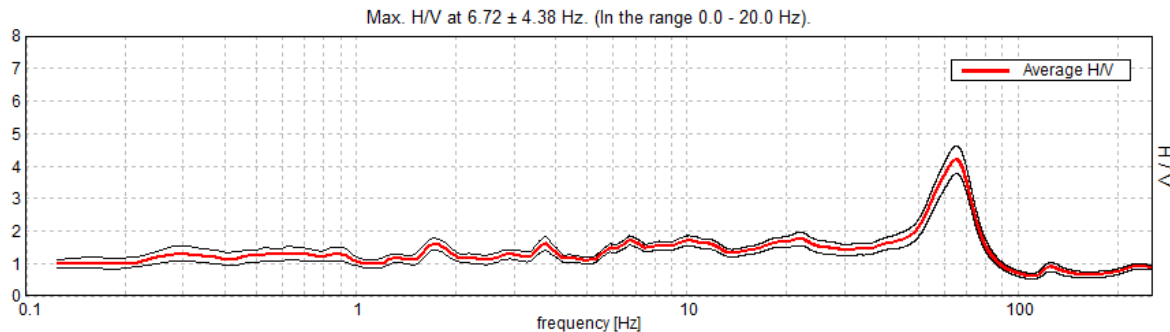
Ubicazione

MISURA SISMICA H.V.S.R.

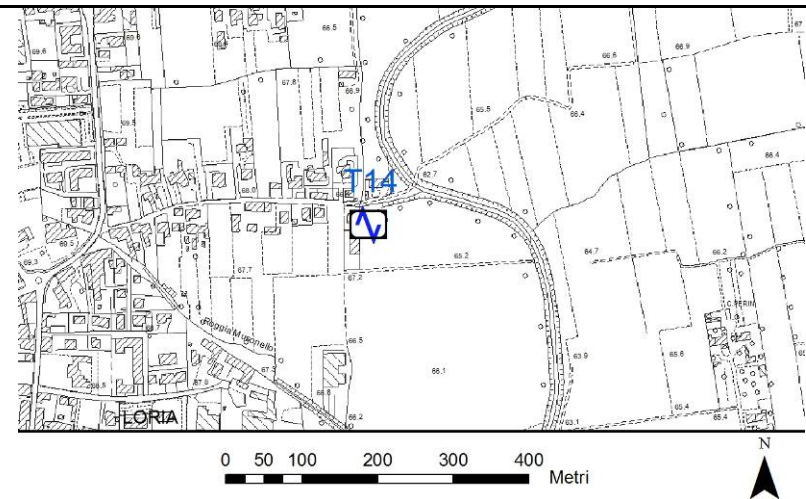
Progressivo	T13		
Coordinata X Gauss-Boaga	1723781		
Coordinata Y Gauss-Boaga	5065853		
Quota p.c. s.l.m.	60 m		
Frequenza di risonanza massima tra 0,1 e 20,0 Hz	15,12 Hz		
Condizione di amplificazione tra 0,1 e 20,0 Hz	si		
Anno di misura	2015		
Presenza di artefatti	si		
 <p>Max. H/V at 3.75 ± 2.1 Hz. (In the range 0.0 - 20.0 Hz).</p> <p>Average H/V</p>		 <p>T13</p> <p>Metri</p>	
<p><i>Andamento della curva H/V</i></p>			
<p><i>Ubicazione</i></p>			

MISURA SISMICA H.V.S.R.

Progressivo	T14
Coordinata X Gauss-Boaga	1723437
Coordinata Y Gauss-Boaga	5068074
Quota p.c. s.l.m.	67 m
Frequenza di risonanza massima tra 0,1 e 20,0 Hz	6,72 Hz
Condizione di amplificazione tra 0,1 e 20,0 Hz	incerta
Anno di misura	2015
Presenza di artefatti	si



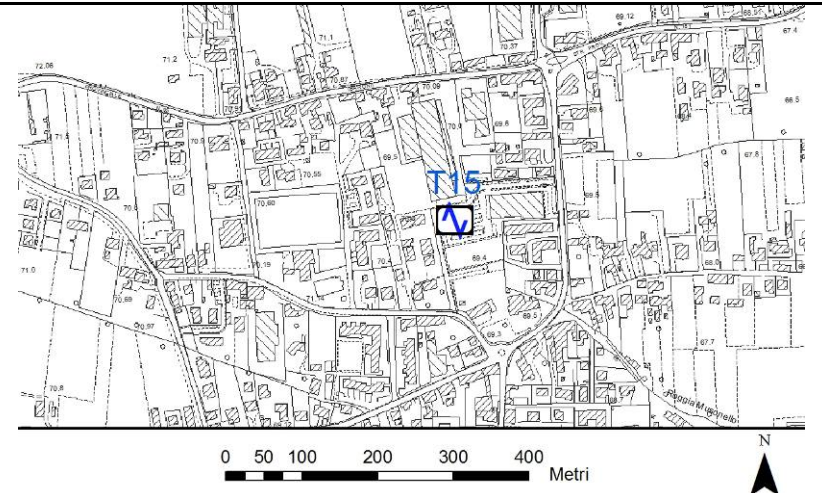
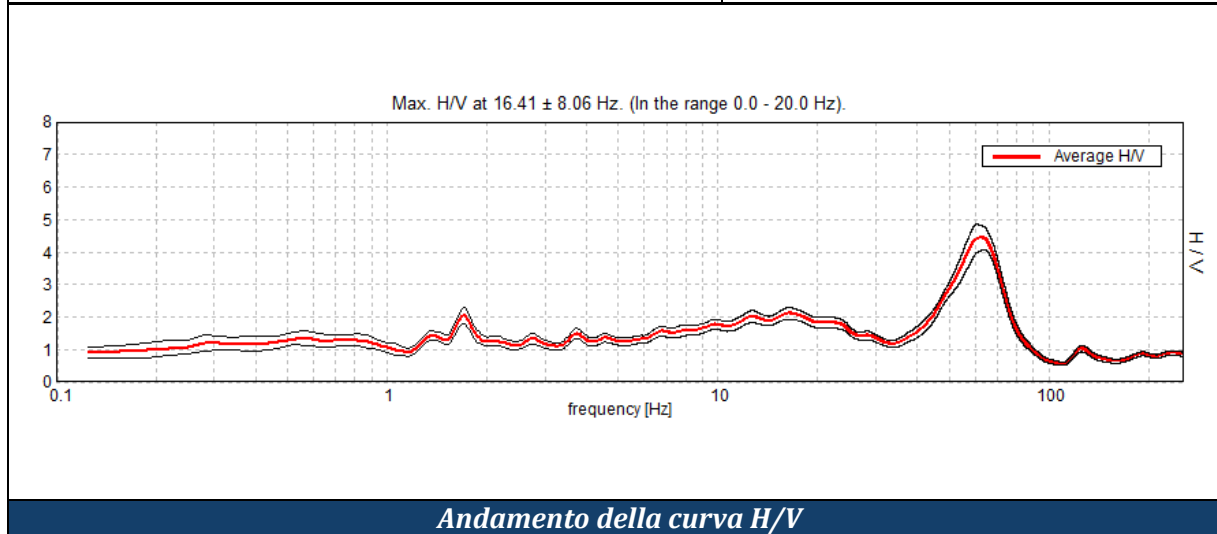
Andamento della curva H/V



Ubicazione

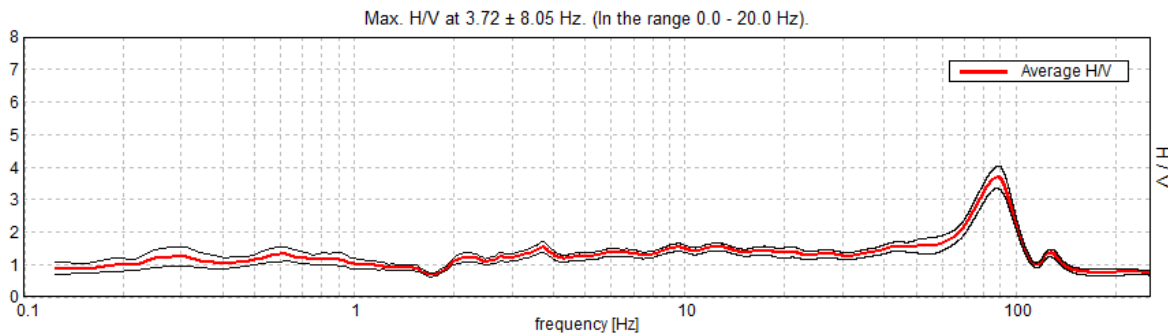
MISURA SISMICA H.V.S.R.

Progressivo	T15
Coordinata X Gauss-Boaga	1722939
Coordinata Y Gauss-Boaga	5068175
Quota p.c. s.l.m.	70 m
Frequenza di risonanza massima tra 0,1 e 20,0 Hz	16,41 Hz
Condizione di amplificazione tra 0,1 e 20,0 Hz	si
Anno di misura	2015
Presenza di artefatti	si

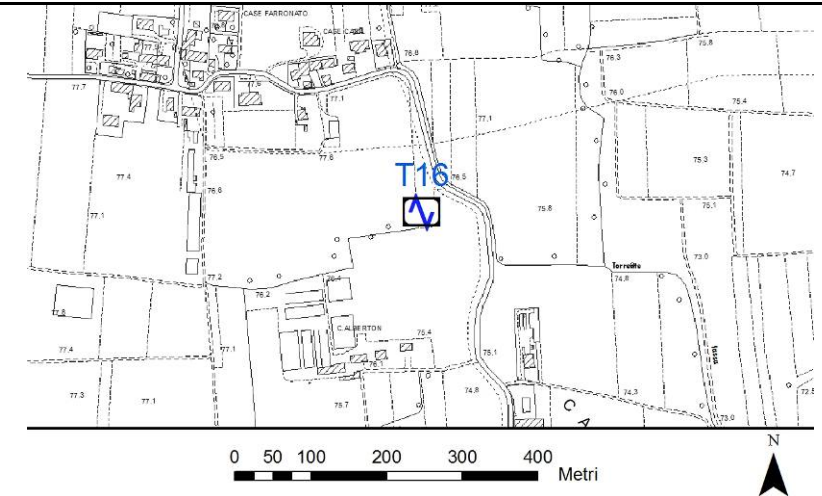


MISURA SISMICA H.V.S.R.

Progressivo	T16
Coordinata X Gauss-Boaga	1722141
Coordinata Y Gauss-Boaga	5069362
Quota p.c. s.l.m.	77 m
Frequenza di risonanza massima tra 0,1 e 20,0 Hz	3,72 Hz
Condizione di amplificazione tra 0,1 e 20,0 Hz	incerta
Anno di misura	2015
Presenza di artefatti	si

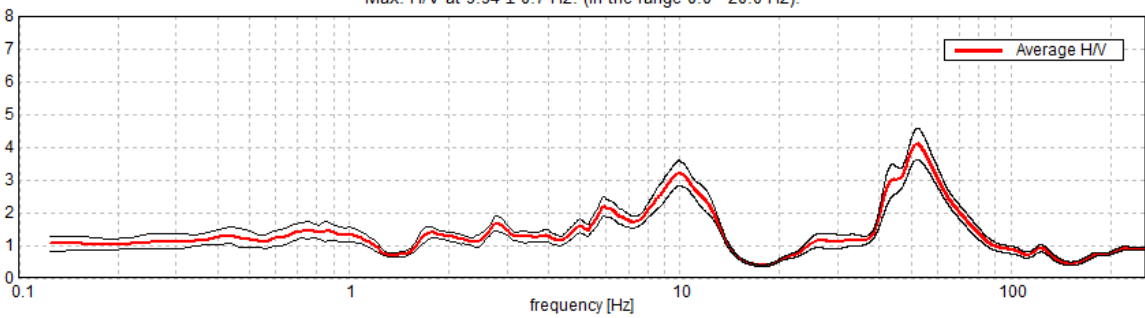
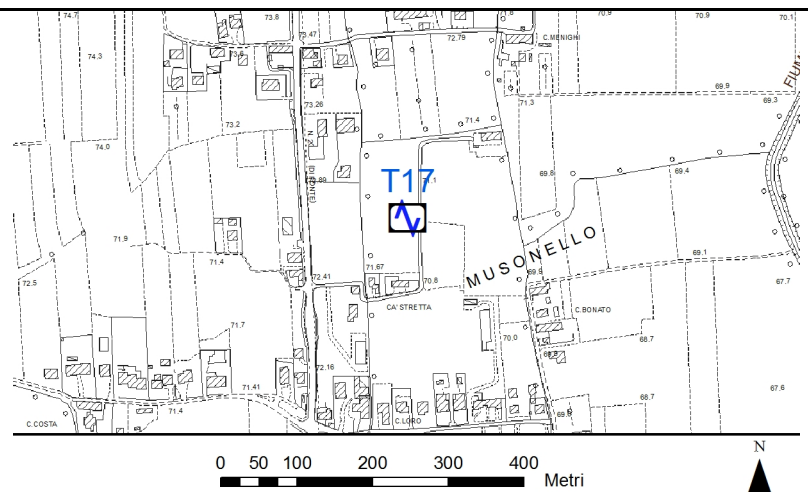


Andamento della curva H/V



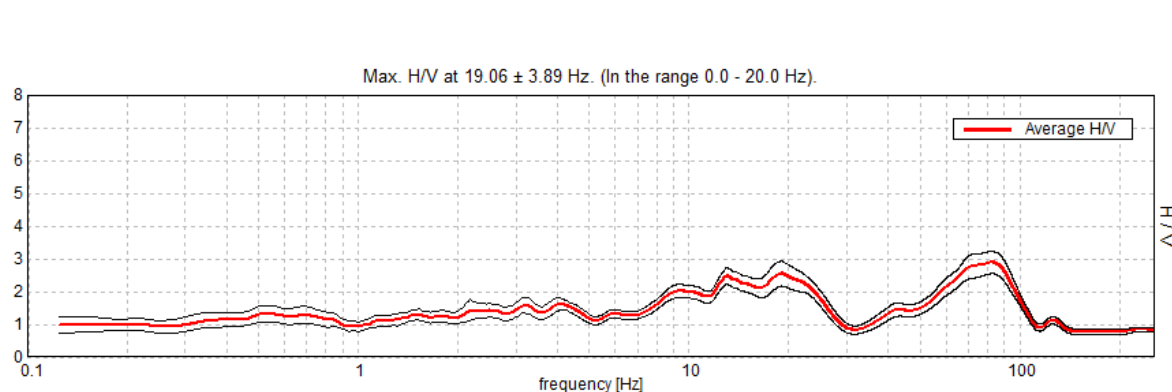
Ubicazione

MISURA SISMICA H.V.S.R.

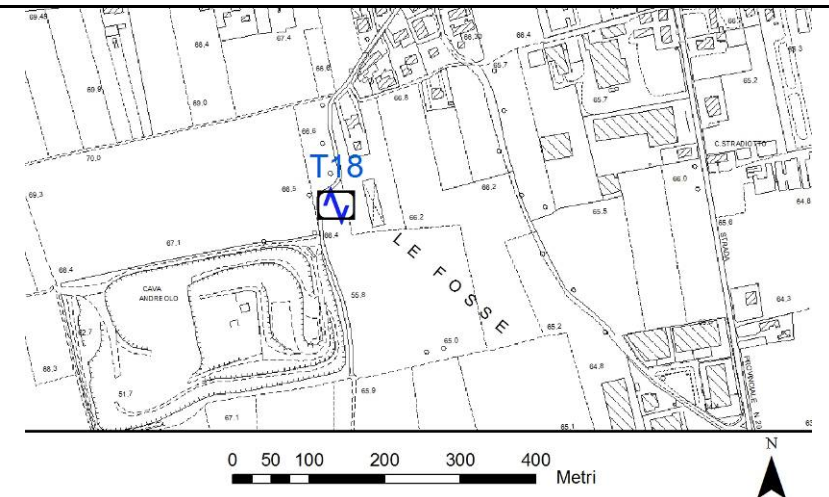
Progressivo	T17	
Coordinata X Gauss-Boaga	1723151	
Coordinata Y Gauss-Boaga	5069211	
Quota p.c. s.l.m.	71 m	
Frequenza di risonanza massima tra 0,1 e 20,0 Hz	9,94 Hz	
Condizione di amplificazione tra 0,1 e 20,0 Hz	si	
Anno di misura	2015	
Presenza di artefatti	si	
<p>Max. H/V at 9.94 ± 0.7 Hz. (In the range 0.0 - 20.0 Hz).</p> 		
<p><i>Andamento della curva H/V</i></p>		<p><i>Ubicazione</i></p>

MISURA SISMICA H.V.S.R.

Progressivo	T18
Coordinata X Gauss-Boaga	1722616
Coordinata Y Gauss-Boaga	5067195
Quota p.c. s.l.m.	66 m
Frequenza di risonanza massima tra 0,1 e 20,0 Hz	19,06 Hz
Condizione di amplificazione tra 0,1 e 20,0 Hz	si
Anno di misura	2015
Presenza di artefatti	no

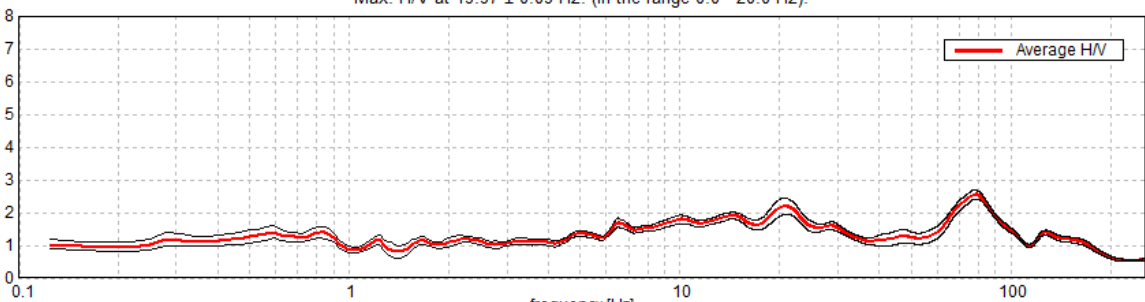
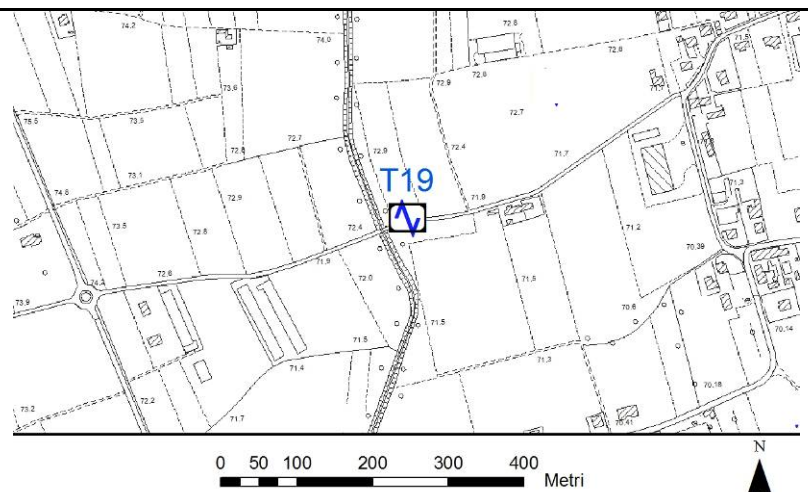


Andamento della curva H/V



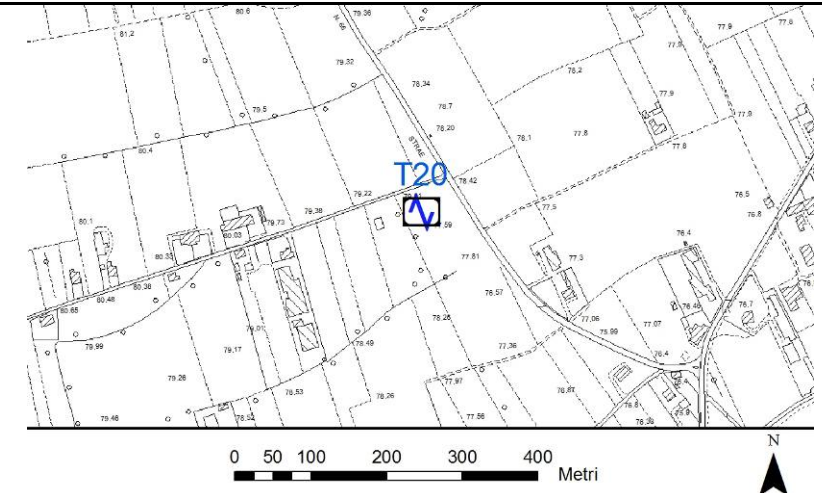
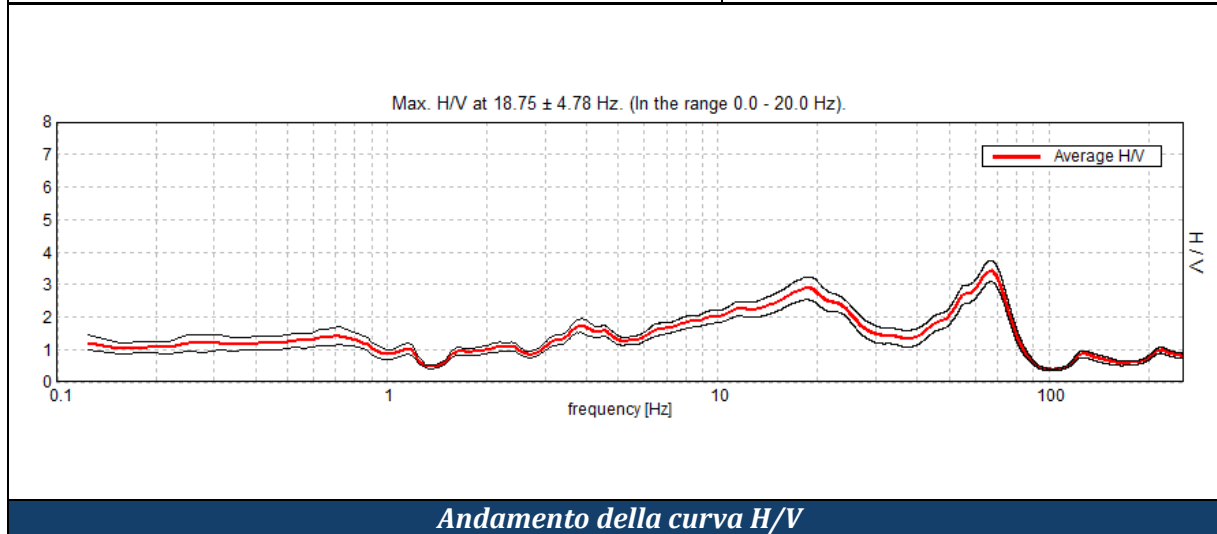
Ubicazione

MISURA SISMICA H.V.S.R.

Progressivo	T19	
Coordinata X Gauss-Boaga	1721670	
Coordinata Y Gauss-Boaga	5067480	
Quota p.c. s.l.m.	72 m	
Frequenza di risonanza massima tra 0,1 e 20,0 Hz	19,97 Hz	
Condizione di amplificazione tra 0,1 e 20,0 Hz	si	
Anno di misura	2015	
Presenza di artefatti	si	
<p>Max. H/V at 19.97 ± 0.09 Hz. (In the range 0.0 - 20.0 Hz).</p> 		
<p><i>Andamento della curva H/V</i></p>		<p><i>Ubicazione</i></p>

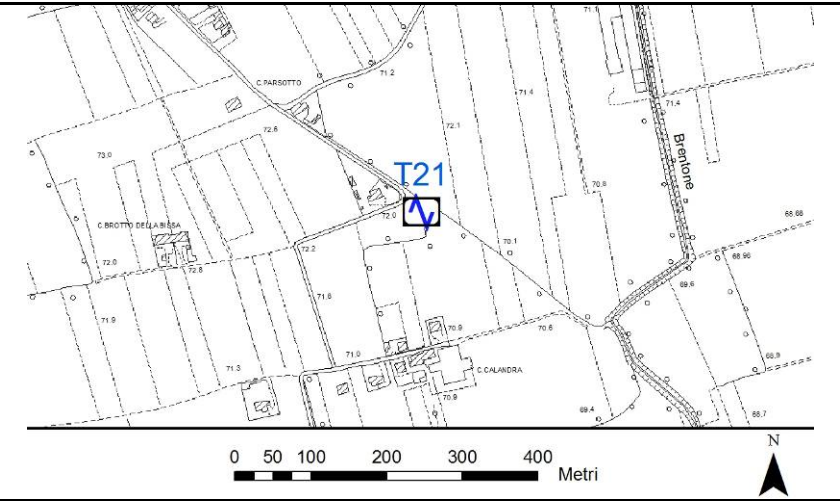
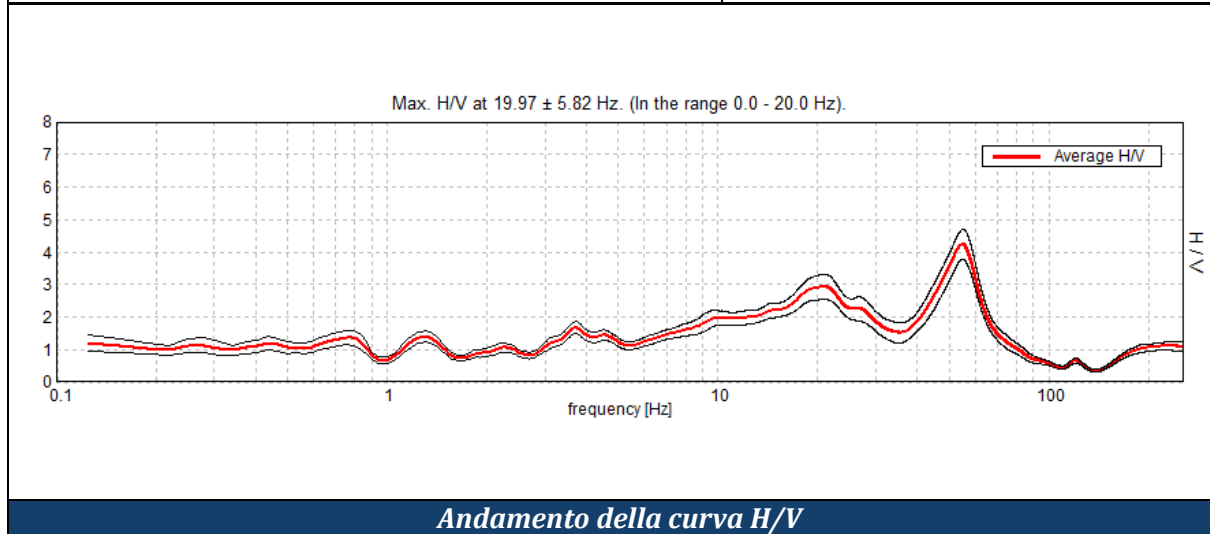
MISURA SISMICA H.V.S.R.

Progressivo	T20
Coordinata X Gauss-Boaga	1720034
Coordinata Y Gauss-Boaga	5067433
Quota p.c. s.l.m.	78 m
Frequenza di risonanza massima tra 0,1 e 20,0 Hz	18,75 Hz
Condizione di amplificazione tra 0,1 e 20,0 Hz	si
Anno di misura	2015
Presenza di artefatti	si

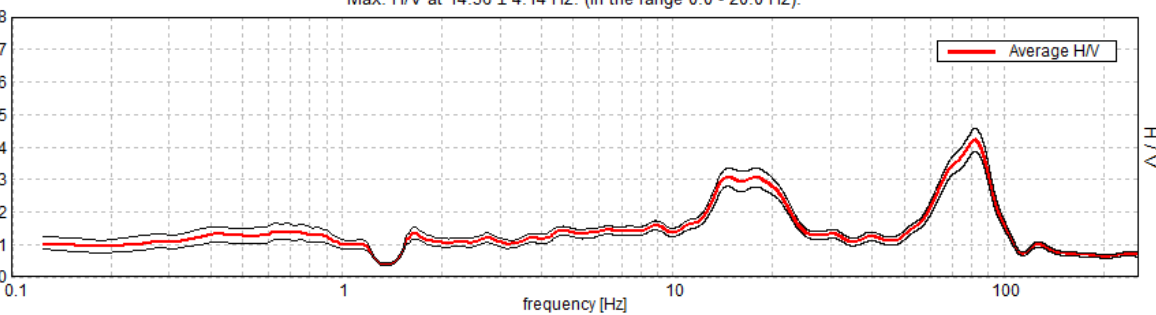
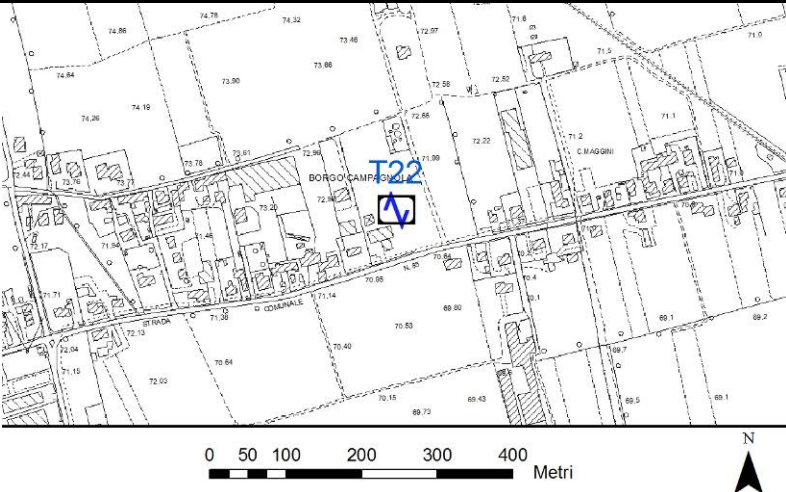


MISURA SISMICA H.V.S.R.

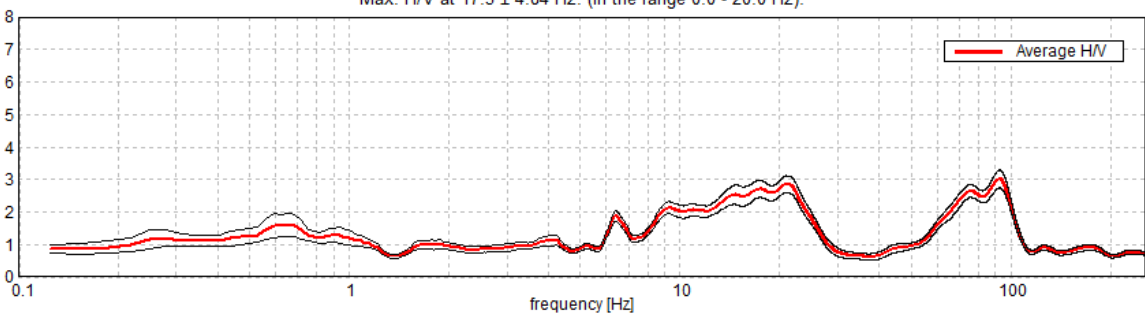
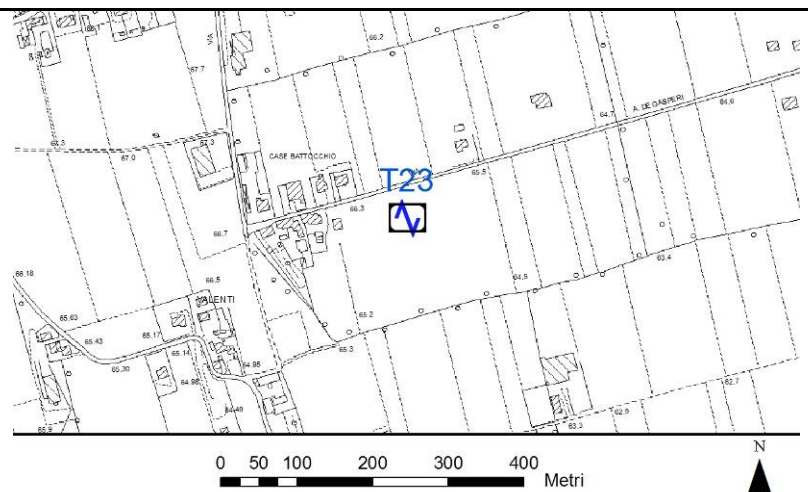
Progressivo	T21
Coordinata X Gauss-Boaga	1721103
Coordinata Y Gauss-Boaga	5066584
Quota p.c. s.l.m.	71 m
Frequenza di risonanza massima tra 0,1 e 20,0 Hz	19,97 Hz
Condizione di amplificazione tra 0,1 e 20,0 Hz	si
Anno di misura	2015
Presenza di artefatti	si



MISURA SISMICA H.V.S.R.

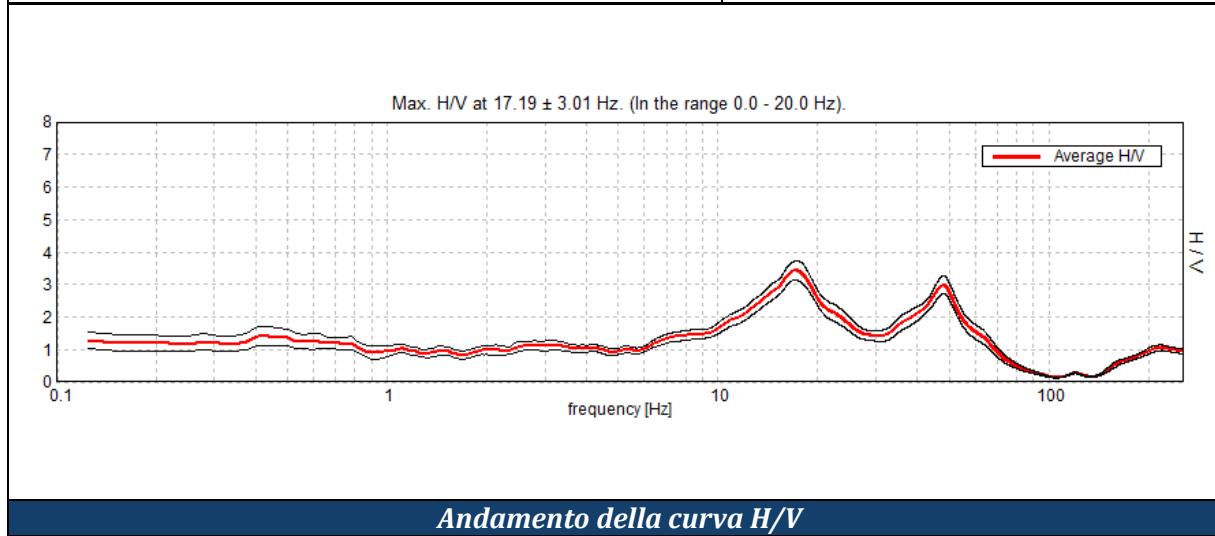
Progressivo	T22	
Coordinata X Gauss-Boaga	1720290	
Coordinata Y Gauss-Boaga	5065737	
Quota p.c. s.l.m.	72 m	
Frequenza di risonanza massima tra 0,1 e 20,0 Hz	14,56 Hz	
Condizione di amplificazione tra 0,1 e 20,0 Hz	si	
Anno di misura	2015	
Presenza di artefatti	si	
<p>Max. H/V at 14.56 ± 4.14 Hz. (In the range 0.0 - 20.0 Hz).</p> 		
<p><i>Andamento della curva H/V</i></p>		<p><i>Ubicazione</i></p>

MISURA SISMICA H.V.S.R.

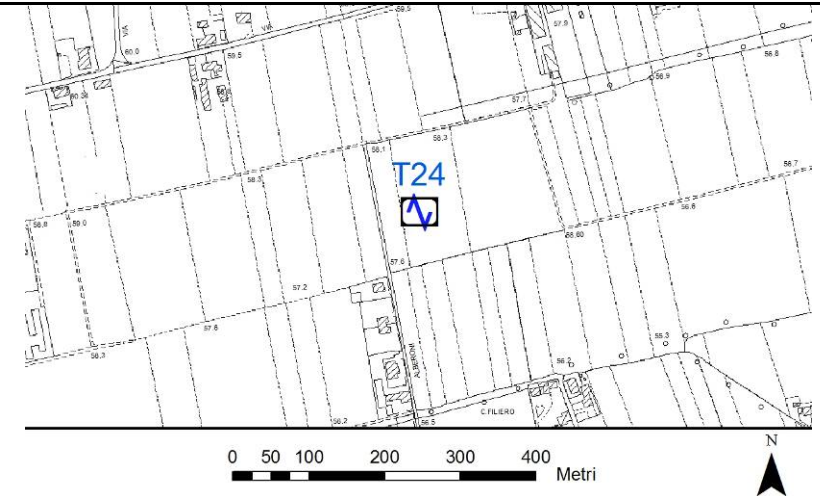
Progressivo	T23	
Coordinata X Gauss-Boaga	1719499	
Coordinata Y Gauss-Boaga	5063793	
Quota p.c. s.l.m.	66 m	
Frequenza di risonanza massima tra 0,1 e 20,0 Hz	17,5 Hz	
Condizione di amplificazione tra 0,1 e 20,0 Hz	si	
Anno di misura	2015	
Presenza di artefatti	si	
<p>Max. H/V at 17.5 ± 4.84 Hz. (In the range 0.0 - 20.0 Hz).</p> 		
<p><i>Andamento della curva H/V</i></p>		<p><i>Ubicazione</i></p>

MISURA SISMICA H.V.S.R.

Progressivo	T24
Coordinata X Gauss-Boaga	1720982
Coordinata Y Gauss-Boaga	5063007
Quota p.c. s.l.m.	58 m
Frequenza di risonanza massima tra 0,1 e 20,0 Hz	17,19 Hz
Condizione di amplificazione tra 0,1 e 20,0 Hz	si
Anno di misura	2015
Presenza di artefatti	no

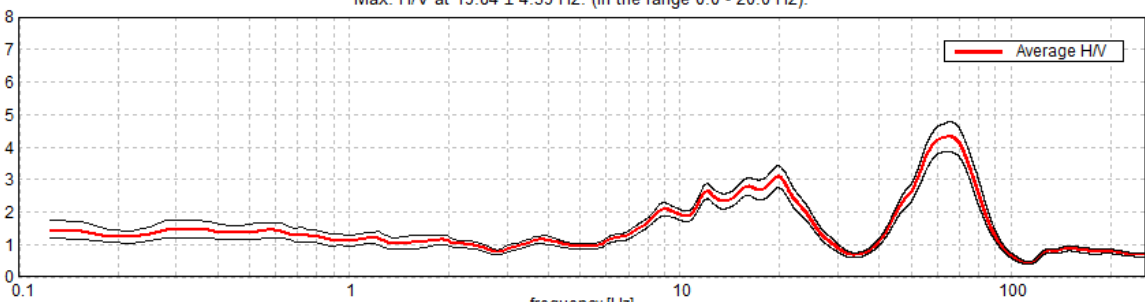
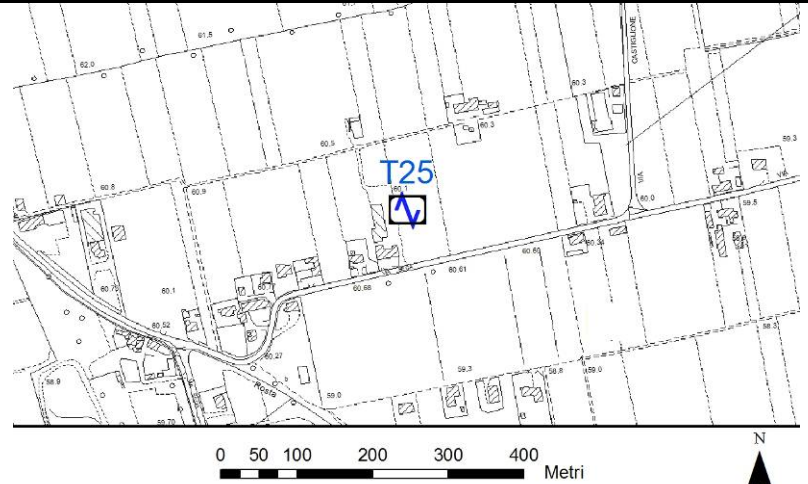


Andamento della curva H/V



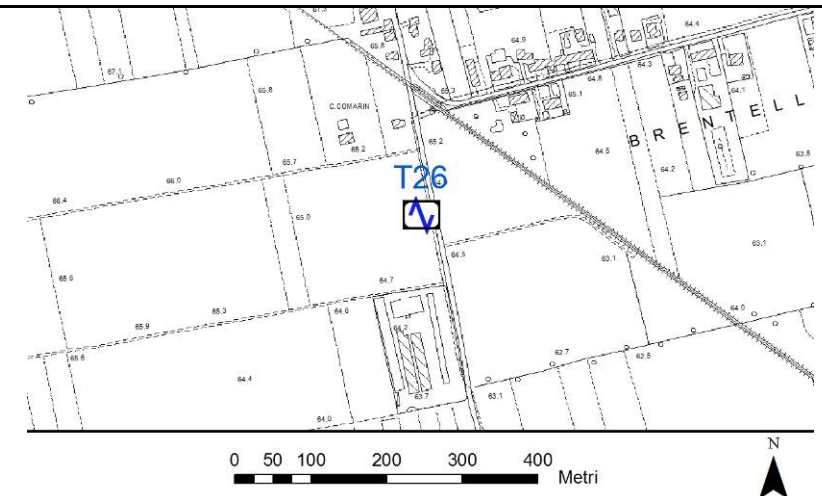
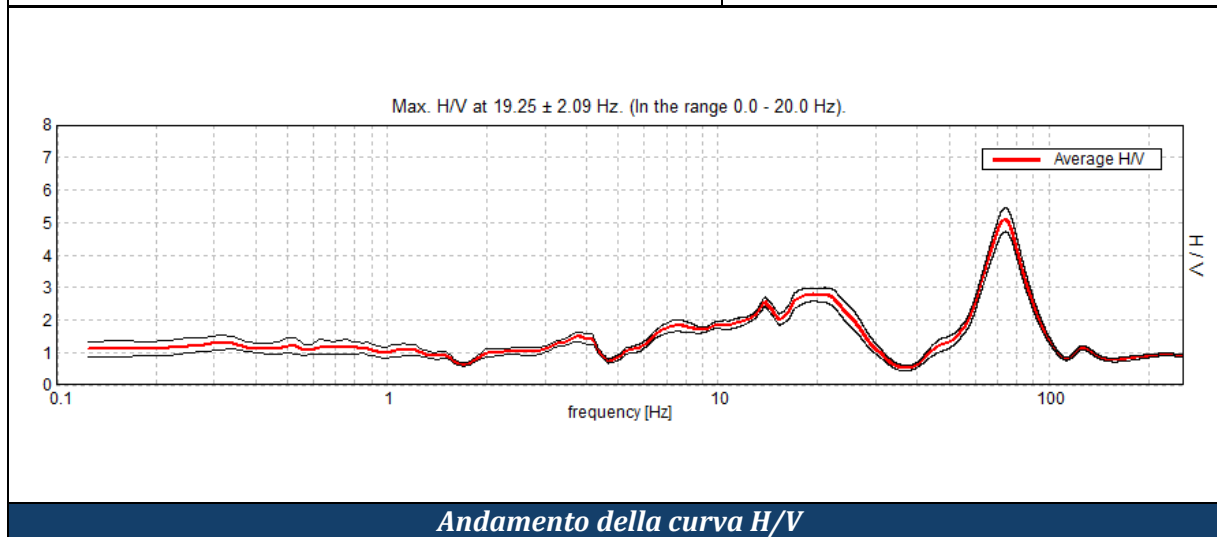
Ubicazione

MISURA SISMICA H.V.S.R.

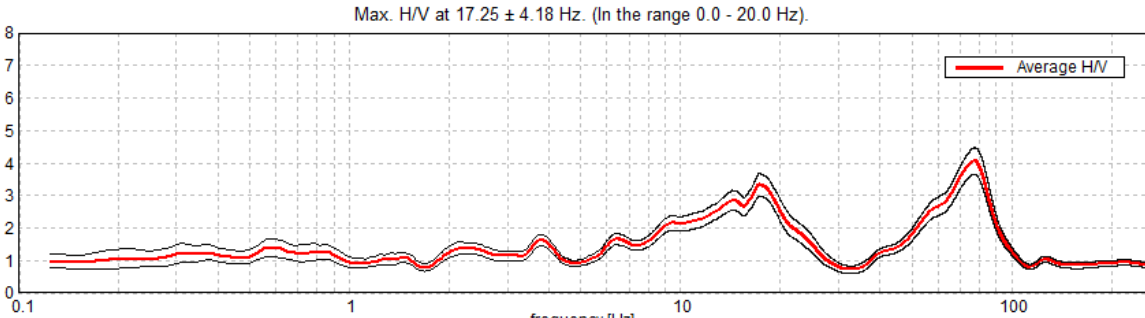
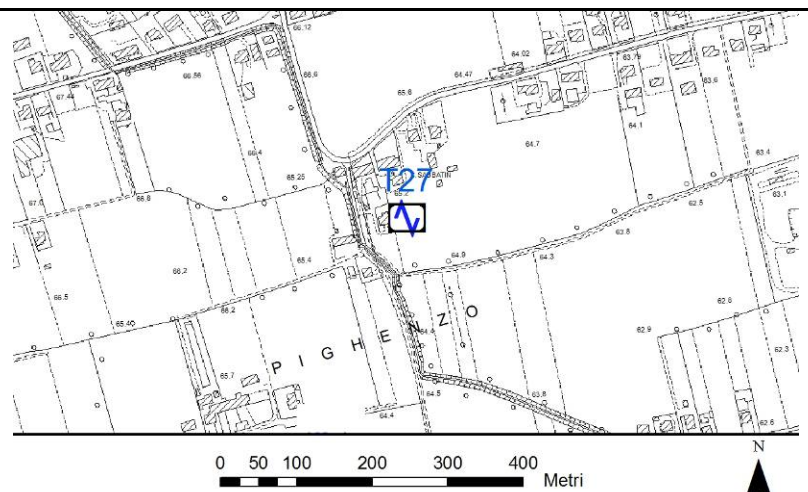
Progressivo	T25	
Coordinata X Gauss-Boaga	1720285	
Coordinata Y Gauss-Boaga	5063203	
Quota p.c. s.l.m.	60 m	
Frequenza di risonanza massima tra 0,1 e 20,0 Hz	19,84 Hz	
Condizione di amplificazione tra 0,1 e 20,0 Hz	si	
Anno di misura	2015	
Presenza di artefatti	no	
<p>Max. H/V at 19.84 ± 4.39 Hz. (In the range 0.0 - 20.0 Hz).</p> 		
<p><i>Andamento della curva H/V</i></p>		<p><i>Ubicazione</i></p>

MISURA SISMICA H.V.S.R.

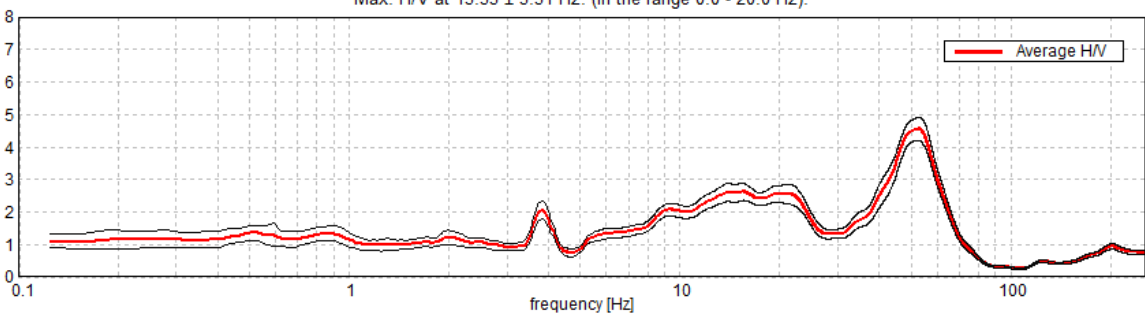
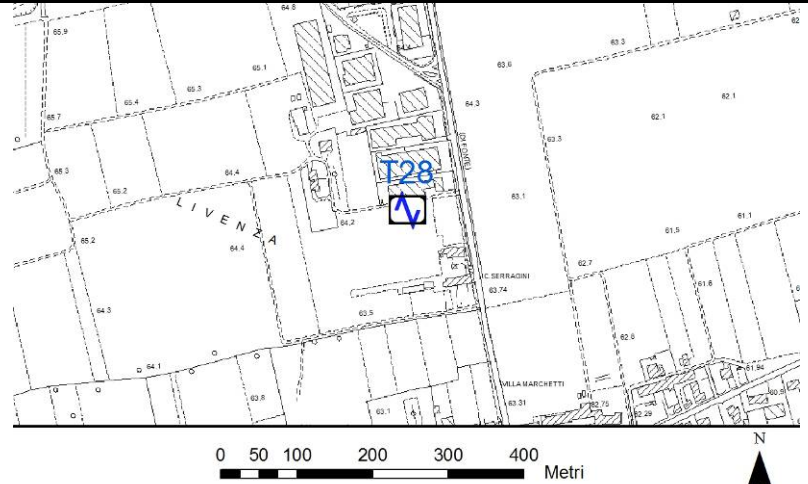
Progressivo	T26
Coordinata X Gauss-Boaga	1721517
Coordinata Y Gauss-Boaga	5065134
Quota p.c. s.l.m.	60 m
Frequenza di risonanza massima tra 0,1 e 20,0 Hz	19,25 Hz
Condizione di amplificazione tra 0,1 e 20,0 Hz	si
Anno di misura	2015
Presenza di artefatti	no



MISURA SISMICA H.V.S.R.

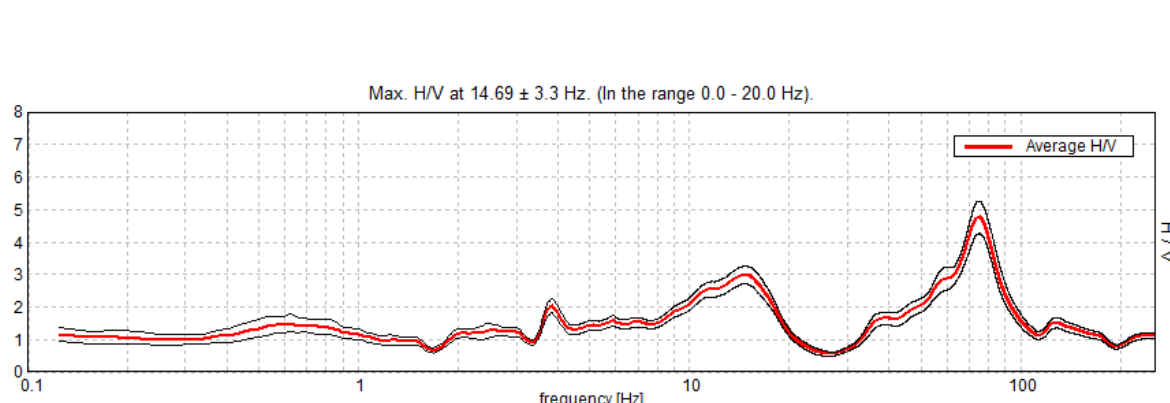
Progressivo	T27		
Coordinata X Gauss-Boaga	1722041		
Coordinata Y Gauss-Boaga	5065799		
Quota p.c. s.l.m.	65 m		
Frequenza di risonanza massima tra 0,1 e 20,0 Hz	17,25 Hz		
Condizione di amplificazione tra 0,1 e 20,0 Hz	si		
Anno di misura	2015		
Presenza di artefatti	si		
<p>Max. H/V at 17.25 ± 4.18 Hz. (In the range 0.0 - 20.0 Hz).</p> 			
<p><i>Andamento della curva H/V</i></p>			
<p><i>Ubicazione</i></p>			

MISURA SISMICA H.V.S.R.

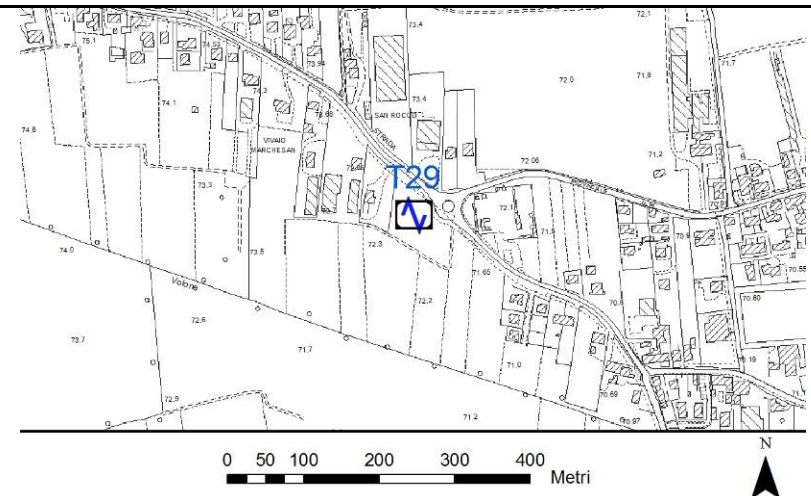
Progressivo	T28	
Coordinata X Gauss-Boaga	1723117	
Coordinata Y Gauss-Boaga	5066716	
Quota p.c. s.l.m.	64 m	
Frequenza di risonanza massima tra 0,1 e 20,0 Hz	15,53 Hz	
Condizione di amplificazione tra 0,1 e 20,0 Hz	si	
Anno di misura	2015	
Presenza di artefatti	si	
<p>Max. H/V at 15.53 ± 3.31 Hz. (In the range 0.0 - 20.0 Hz).</p> 		
<p><i>Andamento della curva H/V</i></p>		<p><i>Ubicazione</i></p>

MISURA SISMICA H.V.S.R.

Progressivo	T29
Coordinata X Gauss-Boaga	17222243
Coordinata Y Gauss-Boaga	5068307
Quota p.c. s.l.m.	72 m
Frequenza di risonanza massima tra 0,1 e 20,0 Hz	14,69 Hz
Condizione di amplificazione tra 0,1 e 20,0 Hz	si
Anno di misura	2015
Presenza di artefatti	si



Andamento della curva H/V



Ubicazione

MISURA SISMICA H.V.S.R.

Progressivo	T30
Coordinata X Gauss-Boaga	1722178
Coordinata Y Gauss-Boaga	5067228
Quota p.c. s.l.m.	70 m
Frequenza di risonanza massima tra 0,1 e 20,0 Hz	18,41 Hz
Condizione di amplificazione tra 0,1 e 20,0 Hz	si
Anno di misura	2015
Presenza di artefatti	si

